



LAPORAN PENELITIAN DOSEN MUDA
TAHUN ANGGARAN 2005

**PENENTUAN KOMPOSISI OPTIMAL BAHAN AKTIF TABIR
SURYA KOMBINASI OKSIBENZON OKTIL DIMETIL PABA
DALAM FORMULA VANISHING CREAM**

Oleh:

Dra. Tutiek Purwanti, M.Si., Apt.
Dra. Tristiana E., M.Si. Apt.

**LEMBAGA PENELITIAN DAN PENGABDIAN KEPADA MASYARAKAT
UNIVERSITAS AIRLANGGA**

Dibiayai oleh Direktorat Jenderal Pendidikan Tinggi, Departemen Pendidikan Nasional,
Sesuai dengan Surat Perjanjian Pelaksanaan Pekerjaan Penelitian
dan Pengabdian kepada Masyarakat
Nomor : 036/SPPP/PP-PM/DP3M/IV/2005
Nomor Urut : 25

**FAKULTAS FARMASI
UNIVERSITAS AIRLANGGA**

November, 2005

SUN - PROTECTIONS



LAPORAN PENELITIAN DOSEN MUDA
TAHUN ANGGARAN 2005

**PENENTUAN KOMPOSISI OPTIMAL BAHAN AKTIF TABIR
SURYA KOMBINASI OKSIBENZON OKTIL DIMETIL PABA
DALAM FORMULA VANISHING CREAM**

KKB
KK-2
LP 110/08

Oleh:

Dra. Tutiek Purwanti, M.Si., Apt.
Dra. Tristiana E., M.Si. Apt.

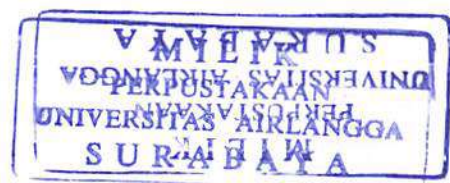
Pur
P

**LEMBAGA PENELITIAN DAN PENGABDIAN KEPADA MASYARAKAT
UNIVERSITAS AIRLANGGA**

Dibiayai oleh Direktorat Jenderal Pendidikan Tinggi, Departemen Pendidikan Nasional,
Sesuai dengan Surat Perjanjian Pelaksanaan Pekerjaan Penelitian
dan Pengabdian kepada Masyarakat
Nomor : 036/SPPP/PP-PM/DP3M/IV/2005
Nomor Urut : 25

**FAKULTAS FARMASI
UNIVERSITAS AIRLANGGA**

November, 2005



DAYANI

**DEPARTEMEN PENDIDIKAN NASIONAL
UNIVERSITAS AIRLANGGA
LEMBAGA PENELITIAN DAN
PENGABDIAN KEPADA MASYARAKAT**

IR. PERPUSTAKAAN UNIVERSITAS AIRLANGGA
Kampus C Unair, Jl. Mulyorejo Surabaya 60115 Telp. (031) 5995246, 5995248, 5995247 Fax. (031) 5962066
E-mail : infolelit@unair.ac.id - http://lppm.unair.ac.id

**IDENTIFIKASI DAN PENGESAHAN
LAPORAN AKHIR HASIL PENELITIAN**

| | | |
|--------------------------------------|---|--|
| 1. Judul Penelitian | : | Penentuan Komposisi Optimal Bahan Tabir Surya Kombinasi Oksibenzon-Oktil dimetil PABA dalam Formula <i>Vanishing Cream</i> |
| a. Macam Penelitian | : | <input type="checkbox"/> Fundamental <input type="checkbox"/> Terapan <input type="checkbox"/> Pengembangan |
| b. Kategori Penelitian | : | <input type="checkbox"/> I <input type="checkbox"/> II <input type="checkbox"/> III |
| 2. Kepala Projek Penelitian | : | Dra. Tutiek Purwanti, MSi, Apt. |
| a. Nama lengkap dan Gelar | : | Dra. Tutiek Purwanti, MSi, Apt. |
| b. Jenis kelamin | : | Perempuan |
| c. Pangkat/Golongan dan NIP | : | Penata /IIIC/131 569 385 |
| d. Jabatan Sekarang | : | Staf Pengajar |
| e. Fakultas/Puslit/Jurusan | : | Farmasi/Bagian Farmasetika |
| f. Univ/Ins./Akademi | : | Universitas Airlangga |
| g. Bidang Ilmu yang diteliti | : | Farmasetika (Formulasi) |
| 3. Jumlah Tim Peneliti | : | 2 (dua) orang |
| 4. Lokasi Penelitian | : | Fakultas Farmasi Unair |
| 5. Kerjasama dengan Instansi lain :- | | |
| a. Nama Instansi | : | - |
| b. Alamat | : | - |
| 6. Jangka waktu penelitian | : | 6 (enam) bulan |
| 7. Biaya yang diperlukan | : | Rp. 6.000.000,- |

Surabaya,

Mengetahui :
Dewan Fakultas Farmasi
Universitas Airlangga

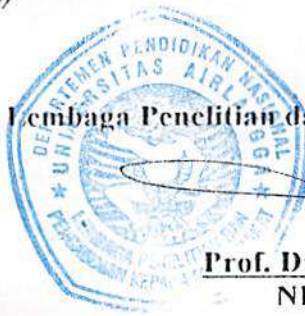
Ketua Peneliti,



Dra. Tutiek Purwanti, MSi, Apt.
NIP. 131 569 385

Prof. Dr. Noor Cholies Zaini, Apt
NIP. 130 355 372

Mengetahui:
Ketua Lembaga Penelitian dan Pengabdian kepada Masyarakat Unair



Prof. Dr. H. Sarmanu, M.S.
NIP. 130 701 125

KATA PENGANTAR

Assalaamu'alaikum Wr. Wb.

Puji dan syukur ke hadirat Allah SWT yang Maha Pengasih dan Maha Penyayang yang telah melimpahkan nikmat, taufik, rahmat dan hidayah-Nya sehingga penyusun dapat menyelesaikan penelitian yang berjudul **Penentuan Komposisi Optimal Bahan Tabir Surya Kombinasi Oksibenson-Oktildimetil PABA Dalam Formula Vanishing Cream**. Penelitian ini dapat terselesaikan atas bantuan dan dorongan berbagai pihak. Untuk itu pada kesempatan ini penyusun ingin menyampaikan ucapan terima kasih kepada :

- Diljen Dikti yang telah memberikan fasilitas dana penelitian ini.
- Ketua Lembaga Penelitian Dan Pengabdian Kepada Masyarakat, Universitas Airlangga yang telah memberikan fasilitas pada penelitian ini.
- Dekan dan Kepala Bagian Farmasetika Fakultas Farmasi Universitas Airlangga yang telah memberikan fasilitas selama melakukan penelitian
- iii
- Semua pihak yang tidak dapat disebutkan satu persatu yang telah membantu kelancaran pelaksanaan dan penyusunan laporan penelitian ini.

Semoga Allah SWT berkenan melimpahkan karunia-Nya sebagai balasan atas kebaikan dan bantuan yang telah diberikan.

Wassalaamu'alaikum Wr. Wb.

Surabaya, Nopember 2005

Penyusun

RINGKASAN

Salah satu cara penanggulangan terhadap pengaruh negatif sinar matahari adalah dengan menggunakan sediaan tabir surya yang akhir-akhir ini banyak digunakan dalam bentuk kombinasi anti UV-A dan anti UV-B dengan harapan efektivitasnya meningkat. Permasalahannya adalah menentukan komposisi dari kedua bahan untuk dapat menghasilkan efektivitas perlindungan yang optimal.

Pada penelitian ini digunakan bahan aktif tabir surya kombinasi oksibenson (anti UV-A) dan oktil dimetil PABA (anti UV-B), yang diformulasikan dalam basis *vanishing cream* dengan komposisi formula I (3:3), formula II (3:5), formula III (3:7), formula IV (4:3), formula V (4:5) dan formula VI (4:7) % b/b. Tujuan dari penelitian ini adalah untuk menentukan komposisi yang memberi efek optimal. Efektifitas dilakukan dengan menentukan nilai *Sun Protection Factor* (SPF). Penentuan nilai serapan 10 mg/l sediaan dalam pelarut isopropanol menggunakan spektrofotometer pada panjang gelombang 290 – 400 nm. Selanjutnya dari data yang diperoleh dihitung nilai SPF masing-masing formula.

Selain penentuan nilai SPF, juga dilakukan pemeriksaan karakteristik sediaan yang meliputi warna, bau, dan tekstur, pemeriksaan pH sediaan dan pemeriksaan daya sebar sediaan.

Berdasarkan hasil pemeriksaan karakteristik sediaan, diperoleh hasil bahwa seluruh sediaan berwarna putih, tidak berbau dan bertekstur lembut, meskipun dengan komposisi bahan aktif berbeda.

Hasil pemeriksaan pH sediaan, menunjukkan bahwa seluruh sediaan memiliki pH yang tetap stabil selama pemeriksaan berlangsung (60 hari). Sedangkan pH sediaan antar formula tidak berbeda satu sama lain meskipun komposisi bahan aktif dalam tiap formula berbeda-beda.

Hasil pemeriksaan profil daya sebar sediaan, menunjukkan bahwa seluruh sediaan memiliki profil daya sebar yang sama. Beban konstan dicapai pada beban 90 g untuk formula I,II,IV,V dan VI. Sedangkan untuk formula III beban konstan dicapai pada beban 100 g.

Hasil penelitian menunjukkan bahwa formula dengan komposisi oksibenson dan oktil dimetil PABA yaitu formula I (3:3), II (3:5), IV (4:3), V (4:5) dan VI (4:7) %b/b secara berturut memberikan nilai SPF rata-rata 9,60; 10,79; 8,40; 9,13 dan 12,30 termasuk dalam sediaan dengan katagori Perlindungan Maksimal, sedangkan formula III (3:7) dengan nilai SPF 15,30 termasuk dalam sediaan dengan katagori Perlindungan Ultra. Selanjutnya terhadap formula-formula yang termasuk sediaan dengan katagori Perlindungan Maksimal dilakukan uji ANOVA untuk mengetahui apakah ada perbedaan nilai SPF yang bermakna antar formula. Dari hasil uji ANOVA dapat diketahui ada perbedaan bermakna antara formula I dengan formula II, antara formula IV dengan formula VI, sedangkan antara formula I dan formula V tidak ada perbedaan bermakna. Dengan demikian dapat disimpulkan bahwa berdasarkan nilai SPF dalam satu kategori perlindungan maksimal, formula yang paling baik adalah formula VI dengan nilai SPF paling tinggi (12,30). Sedangkan secara keseluruhan formula yang paling baik adalah formula III, dengan nilai SPF 15,30.

ABSTRACT

The effectivity of sun screen combination of oxybenzone and octyl dimethyl PABA in Vanishing Cream's base was evaluated by SPF's value. The absorption of 10 ppm formula using isopropanol as a solvent was measured with spectrophotometer. The result showed that Maximum Sun Protection Product category were formula with combination of oxybenzone and octyl dimethyl PABA (3:3) at SPF 9.60; (3:5) at SPF 10.79; (4:3) at SPF 8.40; (4:5) at SPF 9.13; and (4:7) %w/w at SPF 12.30, respectively. The combination of oxybenzone and octyl dimethyl PABA (3:7) %w/w formula produced the Ultra Sun Protection Product category at SPF 15.30.

Keyword : oxybenzone, octyl dimethyl PABA, SPF, vanishing cream.

DAFTAR ISI

| | Halaman |
|--|------------|
| HALAMAN JUDUL | i |
| LEMBAR PENGESAHAN | ii |
| KATA PENGANTAR | iii |
| RINGKASAN | iv |
| ABSTRACT | v |
| DAFTAR ISI | vi |
| DAFTAR GAMBAR | ix |
| DAFTAR TABEL | x |
| DAFTAR LAMPIRAN | xi |
| BAB I PENDAHULUAN | 1 |
| 1.1 Latar Belakang Masalah | 1 |
| 1.2 Rumusan Masalah | 3 |
| 1.3 Tujuan Penelitian | 3 |
| 1.4 Hipotesis | 3 |
| 1.5 Manfaat Penelitian | 3 |
| BAB II TINJAUAN PUSTAKA | 5 |
| 2.1 Sinar Matahari | 4 |
| 2.1.1 Tinjauan Tentang Sinar Matahari..... | 4 |
| 2.1.2 Pengaruh Sinar Matahari terhadap kulit..... | 5 |
| 2.1.2.1 Reaksi Sunburn | 6 |
| 2.1.2.1 Reaksi Pigmentasi..... | 7 |
| 2.2 Meknisme Perlindungan Kulit terhadap Sinar Matahari | 8 |
| 2.2.1 Perlindungan Alamiah..... | 8 |
| 2.2.1 Perlindungan Buatan..... | 9 |
| 2.3 Tinjauan tentang Kulit..... | 9 |
| 2.3.1 Anatomi dan Fisiologi Kulit..... | 9 |
| 2.3.2 Fungsi Kulit..... | 10 |
| 2.4 Sediaan Tabir Surya | 11 |
| 2.4.1 Persyaratan Bahan Tabir Surya..... | 11 |

| | |
|--|-----------|
| 2.4.2 Mekanisme Kerja Bahan Tabir Surya | 12 |
| 2.4.3 Tinjauan Bahan Aktif..... | 13 |
| 2.4.3.1. Oksibenson | 13 |
| 2.4.3.2. Oktil dimetil PABA | 14 |
| 2.5 Tinjauan Basis <i>Vanishing Cream</i>..... | 15 |
| 2.5.1 Tinjauan Umum Sediaan Krim..... | 15 |
| 2.5.2 Tinjauan <i>Vanishing Cream</i>..... | 16 |
| 2.5.3 Formula Basis <i>Vanishing Cream</i>..... | 17 |
| 2.5.4 Tinjauan Komposisi Penyusun Basis | 17 |
| 2.6 Evaluasi Efektivitas Sediaan Tabur Surya | 20 |
| 2.6.1 Persen Transmisi Eritema dan Persen Transmisi Pigmentasi..... | 20 |
| 2.6.2 Penentuan Nilai SPF | 21 |
| BAB III METODE PENELITIAN | 23 |
| 3.1 Bahan - Bahan | 23 |
| 3.2 Alat -Alat | 23 |
| 3.3 Uji Kualitatif..... | 23 |
| 3.3.1 Oksibenson | 23 |
| 3.3.1.1 Pembuatan Kurva Serapan Oksibenson | 23 |
| 3.3.2 Oktil dimetil PABA..... | 24 |
| 3.3.2.1 Pembuatan Kurva Serapan Oktil dimetil PABA | 24 |
| 3.4 Pembuatan Sediaan Tabir Surya | 24 |
| 3.4.1 Pembuatan Basis <i>Vanishing Cream</i>..... | 24 |
| 3.4.2 Pembuatan Sediaan Tabir Surya | 25 |
| 3.5 Uji Mutu Fisik Sediaan Tabir Surya..... | 25 |
| 3.5.1 Uji Organoleptis Sediaan Tabir Surya..... | 25 |
| 3.5.2 Penentuan Daya Sebar Sediaan Tabir Surya | 25 |
| 3.5.3 Uji Stabilitas pH Sediaan Tabir Surya | 26 |
| 3.6 Penentuan Efektivitas Sediaan Tabir Surya | 26 |
| 3.6.1 Penentuan Serapan Basis Krim | 26 |
| 3.6.2 Penentuan Efektivitas Sediaan Tabir Surya | 26 |
| 3.7 Pengolahan Data..... | 27 |
| 3.8 Analisis Data | 28 |

| | |
|--|-----------|
| BAB IV HASIL PENELITIAN DAN PEMBAHASAN..... | 30 |
| 4.1 Hasil Uji Kualitatif Bahan Aktif..... | 30 |
| 4.1.1 Kurva Serapan Oksibenson | 30 |
| 4.1.1 Kurva Serapan Oktil dimetil PABA | 32 |
| 4.2. Hasil Uji Mutu Fisik Sediaan Tabir Surya | 34 |
| 4.2.1 Hasil Pemeriksaan Organoleptis..... | 34 |
| 4.2.2 Hasil Pengamatan Daya Sebar..... | 34 |
| 4.2.3 Hasil Uji Stabilitas pH..... | 36 |
| 4.3. Penentuan Efektivitas Sediaan Tabir Surya | 37 |
| 4.3.1. Pengamatan spektra serapan basis krim dan sediaan tabir surya... | 37 |
| 4.3.2. Hasil Penentuan Efektivitas Sediaan Tabir Surya | 39 |
| BAB V KESIMPULAN DAN SARAN | 42 |
| 5.1 Kesimpulan | 42 |
| 5.2 Saran | 42 |
| DAFTAR PUSTAKA | 43 |
| LAMPIRAN | 45 |

DAFTAR GAMBAR

| | Halaman |
|---|-----------|
| Gambar 2.1 Spektrum total Radiasi Elektromagnetik | 4 |
| Gambar 2.2 Spektra Sinar Ultra Violet | 5 |
| Gambar 2.3 Penenbusan Sinar Ultra Violet dalam Kulit..... | 6 |
| Gambar 2.4 Skema Mekanisme Kerja Tabir Surya | 13 |
| Gambar 4.1.a Profil spektra hubungan antara nilai serapan (A) dan panjang gelombang (nm) oksibenson dengan konsentrasi 5 ppm dan 10 ppm dalam pelarut isopropanol | 31 |
| Gambar 4.1.b Profil spektra Oksibenson pustaka | 31 |
| Gambar 4.2.a Profil spektra hubungan antara nilai serapan (A) dan panjang gelombang (nm) Oktil dimetil PABA dengan konsentrasi 5 ppm dan 10 ppm dalam pelarut isopropanol p.a | 33 |
| Gambar 4.1.b Profil spektra Oktil dimetil PABA pustaka | 33 |
| Gambar 4.3 Profil Daya Sebar Sediaan Tabir Surya berbagai formula pada Bobot konstan 90 gram pada pengamatan hari ke 2, 7, 14, 30, dan 60 setelah pembuatan..... | 35 |
| Gambar 4.4 Profil Daya Sebar Sediaan Tabir Surya formula V pada Bobot konstan 100 gram pada pengamatan hari ke 2, 7, 14, 30, dan 60 setelah pembuatan..... | 35 |
| Gambar 4.5 Profil Daya Sebar Basis pada Bobot konstan 30 gram pada pengamatan hari ke 2, 7, 14, 30, dan 60 setelah pembuatan | 36 |
| Gambar 4.6 Profil Spektra Serapan Formula I,II,III,IV,V, dan VI pada Pengamatan dengan konsentrasi bahan aktif 10 mg/l dalam Isopropanol..... | 38 |
| Gambar 4.7 Profil Spektra Serapan formula III, formula mengandung Oksibenson 4 % b/b dan formula mengandung Oktil dimetil PABA 7% b/b pada pengamatan dengan konsentrasi 10 mg/l dalam pelarut Isopropanol | 38 |

DAFTAR TABEL

| | Halaman |
|--|---------|
| Tabel III.1 Rancangan Formula Sediaan Tabir Surya | 25 |
| Tabel III.2 Katagori Sediaan Tabir Surya Berdasarkan Nilai SPF | 29 |
| Tabel IV.1 Nilai serapan oksibenson dalam pelarut isopropanol p.a pada berbagai panjang gelombang dengan kadar 5 ppm dan 10 ppm..... | 30 |
| Tabel IV.2 Nilai serapan Oktil dimetil PABA dalam pelarut isopropanol p.a pada berbagai panjang gelombang dengan kadar 5 ppm dan 10 ppm..... | 32 |
| Tabel IV.3 Hasil Uji Karakteristik Sediaan Tabir Surya Kombinasi Oksibenson Dan Oktil dimetil PABA dalam basis <i>vanishing cream</i> | 34 |
| Tabel IV.4 Hasil Pemeriksaan pH Sediaan Tabir Surya dengan bahan aktif Oksibenson dan Oktil dimetil PABA gram pada pengamatan hari ke 2, 7, 14, 30, dan 60 setelah pembuatan | 37 |
| Tabel IV.5 Nilai SPF rata-rata Sediaan Tabir Surya Kombinasi Oksibenson Dan Oktil dimetil PABA dalam basis <i>vanishing cream</i> | 39 |
| Tabel IV.6 Katagori Efektivitas Sediaan Tabir Surya Kombinasi Oksibenson Dan Oktil dimetil PABA dalam basis <i>vanishing cream</i> | 39 |
| Tabel IV.7 Sediaan Tabir Surya dengan Katagori <i>Maximal Sun Protection Product</i> | 40 |

DAFTAR LAMPIRAN

| | Halaman |
|---|-----------|
| Tabel 1. Perhitungan Nilai SPF (<i>Sun Protection Factor</i>) Sediaan Tabir Surya dengan bahan aktif Oksibenson dan Oktil dimetil PABA (3 : 3) | 45 |
| Tabel 2. Perhitungan Nilai SPF (<i>Sun Protection Factor</i>) Sediaan Tabir Surya dengan bahan aktif Oksibenson dan Oktil dimetil PABA (3 : 5) | 46 |
| Tabel 3. Perhitungan Nilai SPF (<i>Sun Protection Factor</i>) Sediaan Tabir Surya dengan bahan aktif Oksibenson dan Oktil dimetil PABA (3 : 7) | 47 |
| Tabel 4. Perhitungan Nilai SPF (<i>Sun Protection Factor</i>) Sediaan Tabir Surya dengan bahan aktif Oksibenson dan Oktil dimetil PABA (4 : 3) | 48 |
| Tabel 5. Perhitungan Nilai SPF (<i>Sun Protection Factor</i>) Sediaan Tabir Surya dengan bahan aktif Oksibenson dan Oktil dimetil PABA (4 : 5) | 49 |
| Tabel 6. Perhitungan Nilai SPF (<i>Sun Protection Factor</i>) Sediaan Tabir Surya dengan bahan aktif Oksibenson dan Oktil dimetil PABA (4 : 7) | 50 |
| Tabel 7. Perhitungan Nilai SPF (<i>Sun Protection Factor</i>) Sediaan Tabir Surya dengan bahan aktif Oksibenson 4% b/b | 51 |
| Tabel 8. Perhitungan Nilai SPF (<i>Sun Protection Factor</i>) Sediaan Tabir Surya dengan bahan aktif Oktil dimetil PABA 7% b/b | 52 |

BAB I

PENDAHULUAN

1.1 Latar Belakang Masalah

Indonesia merupakan negara tropis yang kaya akan sinar matahari sepanjang tahunnya. Penyinaran matahari mempunyai dua efek, menguntungkan dan merugikan.

Penyinaran matahari yang sedang, secara psikologi dan fisiologi akan menimbulkan rasa nyaman dan sehat. Sinar matahari dapat mencegah atau mengobati riketsia karena 7-dehidrokolesterol (provitamin D₃) yang terdapat pada epidermis diaktifkan menjadi vitamin D. Selain itu sinar matahari akan meningkatkan pembentukan melanin dan kulit menjadi lebih tebal sehingga dapat berfungsi sebagai pelindung tubuh alami terhadap sengatan sinar matahari (Dep.kes.R.I., 1985)

Efek merugikan yang ditimbulkan oleh sinar matahari (sinar ultraviolet) tergantung dari frekuensi, lama dan intensitas sinar matahari yang mengenai kulit serta sensitivitas seseorang (Dep.kes.R.I., 1985). Radiasi sinar ultraviolet terdiri dari UV-A dengan rentang panjang gelombang 315-400 nm dengan efektifitas tertinggi pada 340 nm, yang dapat menyebabkan tanning/pigmentasi, UV-B dengan rentang panjang gelombang 280-315 nm dengan efektifitas tertinggi pada 297,6 nm, yang dapat menyebabkan terjadinya eritema dan UV-C dengan rentang panjang gelombang 280-200 nm, yang dapat merusak jaringan kulit tetapi sebagian besar telah tersaring oleh lapisan ozon dalam atmosfer. (Harry, 1982; Dep.Kes.R.I, 1985). Kerusakan kulit yang parah dapat mengarah pada timbulnya kanker kulit.

Secara normal kulit memiliki perlindungan alami terhadap sengatan sinar matahari yang merugikan dengan penebalan stratum korneum, pengeluaran keringat, dan pigmentasi kulit. Radiasi sinar matahari dapat menambah mitosis sel epidermis yang menyebabkan penebalan stratum korneum. Sedangkan pigmentasi terjadi karena migrasi granul-granul melanin dari sel basal kulit ke stratum korneum di permukaan kulit. Jika kulit mengelupas, butir melanin akan lepas, sehingga kulit kehilangan pelindung terhadap sinar matahari. Karena keterbatasan



kulit untuk melawan efek negatif tersebut, maka diperlukan perlindungan buatan, baik perlindungan fisik misalnya penggunaan jaket, topi lebar atau payung, maupun perlindungan kimia misalnya penggunaan tabir surya dalam sediaan kosmetik (Dep. Kes.R.I., 1985)

Bahan aktif tabir surya bekerja dengan dua mekanisme yaitu penghambat fisik (*physical blocker*), antara lain TiO_2 , ZnO , kaolin, CaCO_3 , MgO , dan penyerap kimia (*chemical absorber*) meliputi anti UVA misalnya turunan bensofenon antara lain oksibenzon, dibenzoilmetan (Setianingrum, 1992), serta anti UV B yaitu turunan salisilat, turunan *para amino benzoic acid* (PABA) misalnya oktil dimetil PABA, turunan sinamat (sinoksat, etil heksil parametoksisinamat) dan lain-lain (Shaath, 1986). Untuk menghambat panjang gelombang dengan prosentase yang lebih tinggi dan spektrum yang lebih luas dilakukan kombinasi tabir surya mengandung dua atau tiga bahan aktif (Widianingsih, 2002).

Pada penelitian ini digunakan tabir surya kombinasi yaitu oksibenzon (sebagai anti UV-A) dan oktil dimetil PABA (sebagai anti UV-B). Konsentrasi penggunaan oksibenzon yang umum digunakan adalah 2-5 % b/b (Setianingrum, 1992). Konsentrasi efektif yang optimum dari oktil dimetil PABA sebagai tabir surya mulai tercapai pada konsentrasi $\geq 2,85$ % b/b dan maksimum pada 8 %b/b (Erawati, 1989; Levy, 2001).

Tabir surya dapat dibuat dalam bermacam-macam bentuk sediaan, misalnya: krim, losio, gel, dll (Dep.Kes R.I., 1985). Basis *vanishing cream* adalah basis krim dengan tipe emulsi minyak dalam air menggunakan emulgator sabun dalam 80 % b/b air (Lachman, 1970; Ansel, 1989). Basis tersebut mempunyai keuntungan yaitu tidak tampak (transparan) setelah dioleskan, memberikan rasa dingin, tidak berminyak, memiliki daya sebar yang baik pada kulit, mudah dicuci dengan air dan enak dipakai (tidak lengket). Oleh karena itu basis *vanishing cream* dapat digunakan untuk basis sediaan tabir surya.

Efektifitas sediaan tabir surya ditentukan dengan penentuan nilai *Sun Protection Factor* (SPF) yang dapat ditentukan secara *in vitro* dengan menggunakan spektrofotometer dan secara *in vivo* dengan menggunakan *solar stimulator* (Shaat, 1990; Petro, 1981). Metode SPF merupakan metode resmi

Amerika Serikat. FDA (Food Drug Administration) mensyaratkan produk tabir surya harus mencantumkan nilai SPF-nya, untuk memberikan arahan pada konsumen mengenai kekuatan relatif dari produk tersebut. (Shaat, 1990)

Sediaan tabir surya dikatakan dapat memberikan perlindungan apabila memiliki nilai SPF 2-8, tetapi untuk memberikan perlindungan ultra sediaan tabir surya harus memiliki nilai SPF lebih dari 15. (Shaat, 1990)

Dari uraian diatas, maka pada penelitian ini dilakukan kombinasi oksibenson 3 dan 4 % b/b dengan oktil dimetil PABA 3, 5, dan 7 %b/b yang diformulasikan dalam basis *vanishing cream*.

1.2 Rumusan Masalah

1. Sejauh mana pengaruh penggunaan kombinasi oksibenson (kadar 3 dan 4 %b/b) dan oktil dimetil PABA (kadar 3, 5, 7 %b/b) dapat meningkatkan efektifitas (SPF) tabir surya dalam basis *vanishing cream* dibandingkan dengan pemakaian dalam bentuk tunggalnya.
2. Kombinasi manakah yang memberikan efektifitas optimum sebagai tabir surya ?

1.3 Tujuan Penelitian

1. Menentukan besarnya nilai sun protection factor (SPF) dari kombinasi oksibenson (kadar 3 dan 4%b/b) dan oktil dimetil PABA (kadar 3, 5, 7 %b/b).
2. Menentukan komposisi optimal dari kombinasi oksibenson (kadar 3 dan 4 %b/b) dan oktil dimetil PABA (kadar 3, 5, 7 %b/b).

1.4 Hipotesis

Ada peningkatan efektifitas (SPF) tabir surya dengan penggunaan kombinasi oksibenson (kadar 3 dan 4 %b/b) dan oktil dimetil PABA (kadar 3,5,7 %b/b) dalam basis *vanishing cream* dibandingkan dengan pemakaian dalam bentuk tunggalnya.

1.5 Manfaat Penelitian

Hasil penelitian ini diharapkan dapat menjadi salah satu bahan pertimbangan dalam formulasi sediaan tabir surya yang optimal, khususnya yang menggunakan bahan aktif oksibenson dan oktil dimetil PABA.

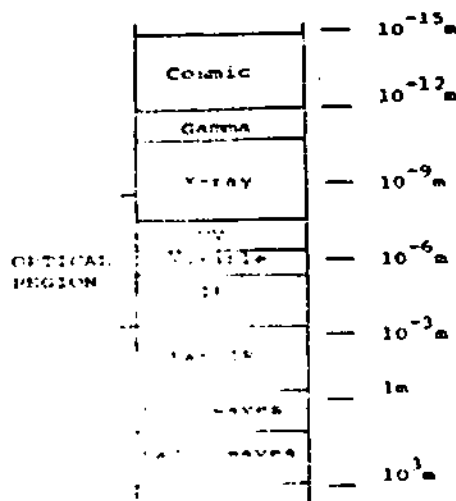
BAB II

TINJAUAN PUSTAKA

2.1 Sinar Matahari

2.1.1 Tinjauan tentang Sinar Matahari

Matahari secara kontinyu memancarkan radiasi elektromagnetik pada spektrum sinar kosmik, sinar gamma, sinar X, sinar ultraviolet, sinar tampak, sinar infra merah, gelombang mikro sampai gelombang radio atau dari 10^{-15} sampai 10^3 (Shaath, 1986).



Gambar 2.1. Spektrum total radiasi elektromagnetik (Shaath, 1986)

Efek sinar matahari yang merugikan terutama karena efek dari sinar ultraviolet. Berdasarkan efek fisiologis dan panjang gelombang, sinar ultraviolet dibagi menjadi 3 bagian (Dep.Kes.R.I., 1985):

a. Sinar ultraviolet A (UVA)

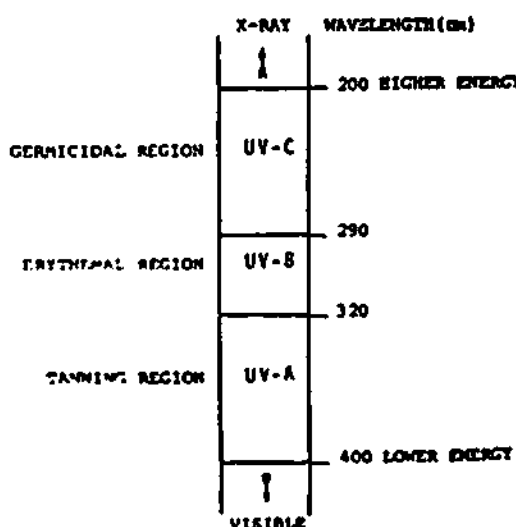
Panjang gelombang 315-400 nm dengan efektifitas tertinggi pada 340 nm. Dapat mengakibatkan pigmentasi pada kulit tanpa didahului reaksi peradangan, yang kemungkinan juga disebabkan oleh foto oksidasi bagian yang berada di lapisan paling atas dari bentuk leukomelanin, disamping itu juga dapat menghasilkan eritema yang lemah sekali

b. Sinar ultraviolet B (UVB)

Panjang gelombang 280-315 nm dengan efektifitas tertinggi pada 297,6 nm, merupakan daerah eritemogenik, dapat menyebabkan *sunburn*. Tanda-tanda kemerahan pada kulit muncul antara 3-8 jam setelah pemaparan dengan sinar matahari dan mulai menghilang 12 jam kemudian, tetapi bila sinar berlebih atau lama sekali menimpa kulit, maka kulit dapat tetap merah selama seminggu atau lebih. *Sunburn* yang disebabkan oleh sinar ini mengakibatkan timbulnya bercak-bercak hitam pada kulit dan juga kanker kulit.

c. Sinar ultraviolet C (UVC)

Panjang gelombang 200-280 nm, dapat merusak jaringan kulit. Tetapi sebagian besar telah disaring oleh lapisan ozon dalam atmosfer. Sinar ini bersifat germisidal. Tidak efektif menimbulkan pigmentasi namun dapat menyebabkan eritema.



Gambar 2.2. Spektra sinar ultraviolet (Shaath, 1986)

2.1.2 Pengaruh Sinar Matahari terhadap Kulit

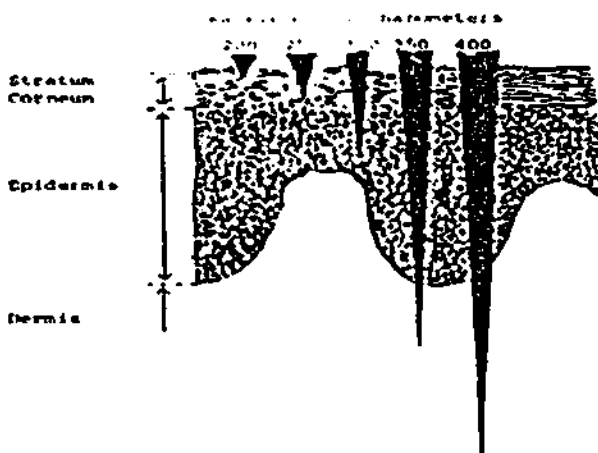
Penyinaran matahari mempunyai dua efek, baik yang menguntungkan maupun yang merugikan, tergantung dari frekuensi dan lamanya sinar mengenai kulit, intensitas sinar matahari, serta sensitivitas seseorang.

Penyinaran matahari yang sedang, secara psikologi dan fisiologi akan menimbulkan rasa nyaman dan sehat. Dapat merangsang peredaran darah, serta

meningkatkan pembentukan hemoglobin. Sinar matahari dapat mencegah atau mengobati penyakit riketsia karena 7-dehidrokolesterol (provitamin D₃) yang terdapat pada epidermis yang diaktifkan menjadi vitamin D (Depkes.R.I., 1985).

Akan tetapi selain banyak memberikan manfaat, sinar matahari juga merugikan bagi kehidupan. Sinar matahari dapat menyebabkan eritema, warna gelap pada kulit, penebalan sel tanduk, *aging* (proses penuaan kulit), dan berbagai penyakit kulit sampai pada kanker kulit yang kesemuanya itu disebabkan oleh sinar ultraviolet. Efek negatif tersebut tergantung pada kuat lemahnya intensitas sinar matahari, lama penyinaran, frekuensi penyinaran, luas permukaan yang terkena sinar matahari serta kepekaan masing-masing individu terhadap sinar matahari (Harry, 1985; Depkes RI, 1985).

Gambar di bawah ini menunjukkan penembusan sinar ultraviolet ke dalam kulit. Radiasi ultraviolet pada panjang gelombang sekitar 300 nm (UV-B) menembus stratum korneum dan epidermis. Radiasi ini menyebabkan timbulnya eritema pada kulit. Radiasi pada panjang gelombang lebih dari 350 nm (UV-A) menembus dermis yang mengaktifkan melanosit untuk menghasilkan melanin sehingga terjadi pigmentasi.



Gambar 2.3. Penembusan sinar ultraviolet dalam kulit (Shaath, 1986)

2.1.2.1 Reaksi Sunburn

Reaksi *sunburn* merupakan reaksi yang cepat akibat menembusnya sebagian besar sinar UV ke dalam stratum korneum. Reaksi ini dapat terjadi dalam bentuk ringan tak bergejala sampai bentuk yang lebih berat dengan disertai rasa sakit,

pembengkakan, dan kadang-kadang timbul gelembung berisi air di permukaan kulit (Harry, 1982; Kreps, 1972)

Derajat *sunburn* berdasarkan frekuensi dan lamanya penyinaran dibagi empat bagian (Harry, 1982; Dep.Kes.R.I, 1985) :

a. Eritema minimal (*minimal perceptive erythema*)

Pada kulit timbul warna merah muda akibat kontak dengan sinar matahari selama 20 menit.

b. Eritema cerah (*Vivid erythema*)

Timbul warna merah terang pada kulit tanpa disertai rasa sakit akibat kontak dengan sinar matahari selama 50 menit.

c. Luka bakar yang nyeri (*Painful burn*)

Timbul eritema cerah yang disertai rasa sakit akibat kontak dengan sinar matahari selama 100 menit.

d. Luka bakar yang melepuh (*Blistering burn*)

Timbul eritema cerah yang disertai rasa sakit yang hebat bahkan terjadi pengelupasan dan pelepuhan kulit akibat kontak dengan sinar matahari selama 200 menit

2.1.2.2 Reaksi Pigmentasi (*tanning*)

Reaksi Pigmentasi (*tanning*) merupakan reaksi yang mekanismenya dirangsang oleh eritema, dapat disebabkan oleh sinar ultraviolet dan sinar tampak dengan pancahan antara 295 - 320 nm (Harry, 1982; Dep.Kes.R.I, 1985; Shaath, 1986).

Derajat pigmentasi yang dihasilkan berbeda-beda tergantung pada lama dan frekuensi penyinaran yang mempunyai tiga tahap yaitu (Harry, 1982; Dep.Kes.R.I, 1985; Shaath, 1986) :

a. *Immediate tanning*

Setelah kulit terkena sinar matahari, maka akan timbul warna kegelapan (pigmentasi) dalam waktu satu jam kemudian. Reaksi tersebut terjadi karena adanya fotooksidasi granul-granul melanin yang berada di permukaan lapisan kulit, akibat radiasi sinar ultraviolet dengan panjang gelombang sekitar 360 nm.

b. *Delayed tanning*

Satu sampai beberapa hari setelah penyinaran ultraviolet, granul-granul melanin dalam lapisan basal sel epidermis, mengalami oksidasi dan mulai pindah menuju ke permukaan kulit.

c. *True tanning*

Pigmen melanin timbul dalam sel khusus. Pigmen dapat berpindah melalui filamen dari melanosit ke dalam lapisan epidermis. Mereka cenderung berakumulasi untuk membentuk klister supra nukleat dalam basal sel. Melanogenesis timbul dua hari setelah kontak dengan sinar matahari dan mencapai puncak dua atau tiga minggu kemudian.

2.2 Mekanisme Perlindungan Kulit Terhadap Sinar Matahari

2.2.1 Perlindungan Alamiah

Secara alamiah tubuh memiliki mekanisme perlindungan terhadap sinar matahari yang merugikan yaitu dengan penebalan stratum korneum, pengeluaran keringat, dan pigmentasi kulit. Pada manusia yang berkulit hitam lebih tahan terhadap paparan sinar matahari karena memiliki stratum korneum yang lebih tebal sehingga radiasi sinar lembayung ultra lebih susah menembus kulit. Selain itu, adanya melanin dapat meningkatkan perlindungan kulit terhadap sinar matahari. (Harry, 1982; Depkes RI, 1985)

Berdasarkan reaksi terhadap sinar matahari kulit dibagi menjadi 2 kelompok, yaitu :

1. tidak peka, penampilan dan pigmentasi baik
2. peka, penampilan jelek, tanpa pigmentasi berpenyakit, reaksi patologi kulit terhadap matahari

Berdasarkan reaktifitas melanin terhadap penceran sinar matahari, kulit manusia dibagi menjadi enam tipe, yaitu :

- a. Kulit tipe I, kulit yang mudah terbakar oleh sinar matahari, tidak timbul *tanning*.
- b. Kulit tipe II, kulit tipe ini mudah terbakar oleh sinar matahari mengalami sedikit *tanning*.

- c. Kulit tipe III, reaksi *sunburn* sedang, *tanning* timbul perlahan-lahan dan umumnya kulit berwarna coklat muda.
- d. Kulit tipe IV, kulit tipe ini sukar terbakar oleh sinar matahari reaksi *sunburn* ringan mudah mengalami *tanning*, warna kulit coklat.
- e. Kulit tipe V, kulit tipe ini jarang mengalami *sunburn*, mudah sekali mengalami *tanning*, kulit berwarna coklat gelap
- f. Kulit tipe VI, kulit ini tidak pernah mengalami *sunburn*, dan kulit berwarna hitam.

2.2.2 Perlindungan Buatan

Walaupun kulit memiliki perlindungan alamiah, adanya paparan berlebih menyebabkan ketidak mampuan kulit untuk melindungi diri secara alamiah. Oleh karena itu, diperlukan perlindungan dari luar (perlindungan buatan). Perlindungan buatan dapat berupa perlindungan fisik maupun perlindungan kimia.

a. Perlindungan fisik

Untuk melindungi kulit dari efek buruk sinar matahari secara fisik dapat dengan cara menggunakan topi lebar, payung, memakai baju lengan panjang, dan lain sebagainya.(Tranggono, 2001)

b. Perlindungan kimia

Perlindungan terhadap sinar matahari secara kimia adalah menggunakan preparat kosmetika yang mengandung bahan aktif tabir surya.

Berdasarkan mekanisme kerjanya tabir surya dibagi menjadi dua golongan yaitu pengeblok fisik dan penyaring kimia.

2.3 Tinjauan tentang Kulit

2.3.1 Anatomi dan Fisiologi Kulit (Wasitaatmadja, 1997).

Kulit merupakan jaringan perlindungan yang lentur dan elastis, menutupi seluruh permukaan tubuh dan merupakan 15% berat tubuh. Kulit memiliki ketebalan 0,05-3 mm yang bagian luarnya lebih tebal dibandingkan bagian dalam dan bagian tertutupnya.

Penilaian aktifitas farmakologik sediaan topikal menunjukkan pentingnya bahan pembawa dalam proses pelepasan dan penyerapan zat aktif. Selain itu

terbukti pula bahwa pemilihan bahan pembawa yang tepat dapat meningkatkan aksi zat aktif, baik lama aksi maupun intensitasnya.

Kulit dibentuk dari tumpukan tiga lapisan berbeda yang berturutan dari luar ke dalam yaitu lapisan *epidermis*, lapisan *dermis* dan lapisan *hipodermis*.

a. Epidermis

Lapisan epidermis terbentuk dari sel *stratified keratinized epithelium* yang terdiri dari lima lapisan dari bawah ke atas yaitu *stratum germinativum*, *stratum mukosum*, *stratum granulosum*, *stratum lucidum* dan *stratum corneum*.

b. Dermis

Dermis adalah suatu jaringan yang kenyal dan elastis yang melindungi tubuh luka-luka mekanik dan menyediakan nutrisi bagi epidermis serta bagian kulit lainnya.

Dalam lapisan dermis terdapat melanosit. Penetrasi sinar matahari ke dalam dermis akan mempengaruhi enzim tirosin untuk mengaktifasi melanosit agar menghasilkan melanin. Melanin berfungsi melindungi kulit dari paparan sinar matahari. Melanosit bertanggung jawab pada pewarnaan kulit atau pigmentasi.

c. Hipodermis

Lapisan hipodermis ini banyak mengandung lemak sehingga memberikan perlindungan terhadap temperatur dan sebagai bantalan mekanis terhadap organ-organ di bawahnya.

2.3.2 Fungsi Kulit

Kulit sebagai organ tubuh terluar mempunyai banyak fungsi. Antara lain : (Wasitaatmadja, 1997).

a. Fungsi proteksi

Kulit melindungi bagian dalam tubuh terhadap gangguan fisik dan mekanik, kimiawi, mikroba, dan sinar UV.

b. Fungsi absorpsi

c. Fungsi ekskresi dan sekresi

d. Fungsi sensori

e. Pengatur suhu tubuh

f. Pernafasan kulit

g. Pembentukan pigmen (melanogenesis)

Fungsi perlindungan kulit dari sinar matahari

Faktor perlindungan kulit secara alamiah terhadap sinar matahari adalah dengan penebalan stratum korneum dan pigmentasi kulit. Pada percobaan perlindungan menunjukkan adanya kecepatan mitotik setelah penyinaran dari sel epidermis yang menyebabkan penebalan stratum korneum dalam waktu 4-7 hari, sehingga dapat menahan penyinaran yang menyebabkan eritema.

Perlindungan terhadap sengatan sinar matahari juga disebabkan oleh peningkatan jumlah melanin dalam epidermis. Butir melanin yang terbentuk dalam sel basal kulit setelah penyinaran UV-B akan berpindah ke stratum korneum di permukaan kulit, kemudian teroksidasi oleh sinar UV-A. Jika kulit mengelupas maka butir melanin lepas sehingga kulit kehilangan perlindungan terhadap sinar matahari.

Radiasi dari sinar UV-B dapat menembus lapisan basal dan epidermis, serta menyebabkan *sunburn* atau eritema pada kulit, dan bila berlangsung lama maka akan terjadi proses *aging* (penuaan kulit). Radiasi dari sinar UV-A dapat menembus dermis dan merangsang pembentukan melanin, sehingga menyebabkan terjadinya pigmentasi (tanning).

Paparan sinar matahari mempengaruhi produksi melanin. Paparan sinar matahari meningkat, produksi melanin meningkat. Selain pigmen, warna kulit dibentuk oleh tebal tipisnya kulit, Hb-reduksi, Hb-oksidasi dan karoten.

2.4 Sediaan Tabir Surya

Sediaan tabir surya adalah sediaan kosmetik yang mengandung senyawa kimia aktif yang dapat membaurkan, menyerap, atau memantulkan secara efektif cahaya matahari, terutama daerah emisi gelombang ultraviolet dan inframerah, sehingga dapat mencegah terjadinya gangguan kulit karena cahaya matahari (Harry, 1982; Dep.Kes.R.I., 1985)

2.4.1 Persyaratan Bahan Tabir Surya

Sediaan tabir surya harus mempunyai persyaratan sebagai berikut (Harry, 1982) :

1. Harus efektif dalam mengabsorbsi radiasi yang menyebabkan eritema pada panjang gelombang 290-320 nm tanpa kerusakan dari zat tersebut yang akan mengurangi efisiensi atau memberikan efek yang toksik atau iritasi.
2. Harus memberikan transmisi secara total pada panjang gelombang 300-400 nm yang memungkinkan terjadinya efek tanning maksimal.
3. Tidak menguap dan tahan terhadap air dan keringat.
4. Mempunyai kelarutan yang cocok dengan pembawa
5. Tidak berbau atau sedikit berbau tetapi dapat diterima konsumen
6. Tidak toksik, tidak mengiritasi, dan tidak untuk kulit yang sensitif
7. Mempunyai efek perlindungan yang tetap dalam beberapa jam
8. Stabil dalam kondisi pemakaian
9. Tidak mewarnai pakaian

2.4.2 Mekanisme Kerja Bahan Tabir Surya

Mekanisme kerja bahan aktif tabir surya dibagi menjadi dua tipe, yaitu :

a. Pengeblok fisik (*physical blockers*)

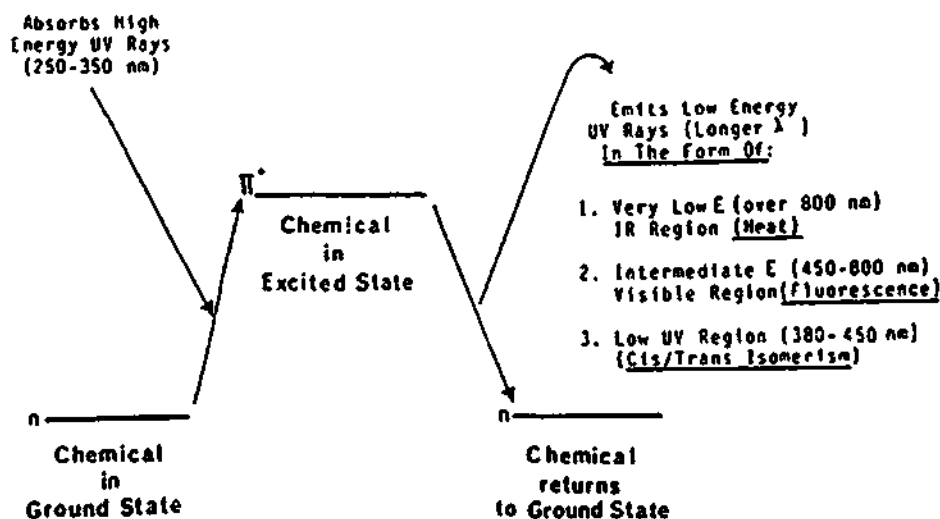
Pengeblok fisik yaitu bahan yang mekanisme kerjanya menghamburkan atau memantulkan energi radiasi sinar ultraviolet yang berbahaya. Bahan yang termasuk dalam tipe ini antara lain : ZnO, TiO₂, kaolin, MgO, talk, dan sebagainya. Pengeblok fisik jarang digunakan karena prosentase yang dibutuhkan untuk memberikan efek yang diinginkan sangat tinggi (10-100%). Prosentase yang tinggi itu umumnya menyebabkan sediaan kosmetika menjadi tidak menarik. Di samping itu, hanya sedikit bahan dasar kosmetika yang dapat bercampur dengan bahan aktif tabir surya dalam jumlah besar (Kreps and Goldenberg, 1972; Shaath, 1986).

b. Penyerap kimia (*chemical absorbers*)

Penyerap kimiawi adalah bahan yang mekanisme kerjanya menyerap energi radiasi sinar ultraviolet yang berbahaya (baik UV-B maupun UV-A). Penyerap kimiawi umumnya memiliki struktur dasar berupa senyawa aromatis dengan gugus karbonil terkonjugasi. Radiasi sinar ultraviolet dengan panjang gelombang tertentu menghasilkan energi yang menyebabkan terjadinya eksitasi elektron. dari tingkat energi dasar ke tingkat energi yang lebih tinggi.



Elektron yang tereksitasi ini bersifat tidak stabil dan secara perlahan-lahan melepaskan energi yang diabsorbsi kembali ke struktur dan tingkat energi mula-mula dalam bentuk emisi foton ke panjang gelombang yang lebih besar dan energi yang dipancarkan kembali berada pada rentang sinar infra merah dan sinar tampak. Dengan demikian energi yang dilepaskan tidak berbahaya karena tidak bersifat eritemogenik.



Gambar 2.4. Skema mekanisme kerja tabir surya (Shaath, 1986)

Penyerap kimia ini masih dibedakan menjadi 2 yaitu (Barel, 2001): anti UV-A antara lain ; Oksibenson, methyl anthranilate, Avobenson, sulisobenson, dan anti UV-B antara lain ; Oktil metoksisinamat, oktil dimetil PABA, oktil salisilat. Penyerap kimia efektif pada kadar yang rendah (umumnya 2-10%) dan dapat bercampur dengan bermacam-macam bahan dasar kosmetika (Shaath, 1986).

2.4.3 Tinjauan Bahan Aktif

2.4.3.1 Oksibenson

Oksibenson merupakan golongan *benzophenone* yang digunakan dalam bentuk sediaan topikal sebagai tabir surya. Oksibenson selain efektif terhadap radiasi UV-B (280-315 nm) juga efektif terhadap UV-A II (320-340 nm), karena

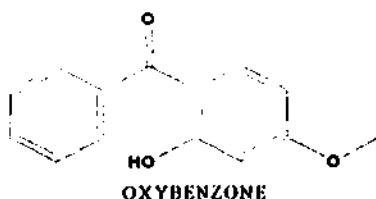
oksibenson memberi serapan pada panjang gelombang 270-350 nm.

(www.photodermatology.com/sunprotection.htm, 2000; Barel, 2001)

Sifat fisika kimia (Reynolds, 1993)

Nama lain : (2-hidroksi-4-metofenil) fenil metanin, 2-hidroksi-4-metoksi bensofenon, Eusolex 4360, Uvinil M-40, Bensofenon-3, Cyasorp UV9

Rumus Bangun :



Pemerian : Serbuk kuning pucat, tak berbau

Kelarutan : Mudah larut dalam alkohol dan toluen, praktis tidak larut dalam air.

Keterangan : Kontak dengan mata harus dihindarkan, mempunyai nilai koefisien ekstinsi yang rendah

Mekanisme kerja : Sebagai bahan tabir matahari dengan mekanisme kerja menyerap energi radiasi sinar matahari pada panjang gelombang UV-B (Shaath, 1986). Digunakan dengan konsentrasi 2-5% (Setianingrum, 1992).

2.4.3.2 Oktil dimetil PABA (Padimate O)

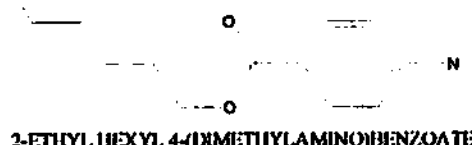
Oktil dimetil PABA merupakan bentuk ester dari *Para Amino Benzoic Acids* (PABA) yang merupakan senyawa dengan kemampuan menyerap radiasi UV-B paling tinggi. Ester PABA ini disintesis dengan menambahkan gugus hidrokarbon pada senyawa induk PABA (Sterling, 1992). Keuntungan oktil dimetil PABA dibandingkan dengan PABA adalah memiliki potensi yang lebih rendah dalam menimbulkan sensitiasi, iritasi dan rasa menyengat pada kulit (Widianingsih, 2002). Selain itu sangat sulit larut dalam air dan substantivitasnya sangat baik

sehingga tidak dapat dicuci dengan mudah dan secara kimia bersifat inert (Sterling, 1992).

Sifat fisika kimia

Nama lain : 2-Ethylhexyl 4-(dimethylamino)benzoate

Rumus bangun :



Pemerian : merupakan cairan kuning muda, bau aromatik lemah

Kelarutan : praktis tidak larut dalam air, gliserol, propilenglikol, larut dalam isopropanol, alkohol, parafin cair

Mekanisme kerja : Sebagai bahan tabir surya dengan mekanisme kerja menyerap energi radiasi sinar matahari pada panjang gelombang UV-A (Widianingsih, 2002). Digunakan dengan konsentrasi antara 2-8% (Erawati, 1989; Rarel 2001).

2.5 Tinjauan Basis *Vanishing cream*

2.5.1 Tinjauan Umum Sediaan Krim

Krim adalah sediaan setengah padat mengandung satu atau lebih bahan obat terlarut atau terdispersi dalam bahan dasar yang sesuai. Istilah krim sekarang digunakan untuk sediaan setengah padat yang mempunyai konsistensi relatif cair disformulasi sebagai emulsi air dalam minyak atau minyak dalam air (Dep.Kes.R.I., 1994).

Dalam pemilihan basis krim terdapat faktor-faktor yang perlu dipertimbangkan yaitu (Kreps and Goldenberg, 1972) :

a. Stabilitas bahan obat

Bahan obat harus cukup stabil dalam basis yang digunakan, baik stabil secara fisik, kimia, mikrobiologi, terapeutik dan toksikologi.

b. Kelarutan bahan obat

Bahan obat yang larut dalam basis akan mudah diserap terutama untuk bahan obat yang diinginkan untuk menembus kulit. Jika bahan obat tidak larut maka bahan obat tersebut harus mempunyai ukuran partikel yang halus dan merata dalam basis.

c. Tidak mengiritasi

Bahan obat tidak menimbulkan iritasi pada tempat pemakaian, tersebar halus dan merata.

Berdasarkan tipe emulsinya, basis krim digolongkan menjadi 2 kelompok yaitu (Martin, 1960; Scovill's, 1957) :

a. Basis krim tipe minyak dalam air (M/A)

Basis ini mudah dibersihkan dari kulit dan mudah dicuci dengan air.

b. Basis krim tipe air dalam minyak (A/M)

Basis krim ini sukar dihilangkan dan tidak tercucikan dengan air.

Berdasarkan zat pengemulsinya, basis krim digolongkan menjadi 3 yaitu : (Martin, 1960; Scovill's, 1957)

a. Kationik : dapat menimbulkan iritasi pada kulit, tidak tercampur dengan bahan-bahan yang bersifat ionik.

b. Anionik : tidak mengiritasi tapi dapat meningkatkan kehilangan air pada kulit sehingga menimbulkan dehidrasi. Tidak tercampur dengan bahan-bahan bersifat kationik.

c. Nonionik : tidak terionisasi dalam larutan serta tidak mengiritasi

2.5.2 Tinjauan *Vanishing cream*

Secara terminologi yang dimaksud dengan *vanishing cream* adalah krim yang mudah dihilangkan.

Basis *vanishing cream* merupakan emulsi minyak dalam air dimana fase minyak banyak mengandung asam stearat 15-20 % yang dapat melebur pada suhu tubuh setelah dioleskan dan membentuk lapisan film semipermeabel yang tidak terlihat setelah airnya menguap.

Basis *vanishing cream* lebih disukai karena sifatnya yang mudah tercucikan dengan air, tidak tampak (transparan) setelah dioleskan, dingin dan lembut, mudah

menyebar pada permukaan kulit. (Martin, 1960; Lachman, 1985; Scoville's, 1957).

2.5.3 Formula Basis *Vanishing cream* (Sahitri, 2001)

| | | |
|------|-----------------------|--------|
| R/ | Asam stearat | 14 % |
| | Setil alkohol | 2 % |
| | Metil paraben | 0,1 % |
| | Propil paraben | 0,05 % |
| | Span 80 | 0,5 % |
| | Tween 80 | 4,5 % |
| | Larutan Sorbitol 70 % | 3 % |
| Aqua | ad | 100 % |

2.5.4 Tinjauan tentang Komposisi Penyusun Basis (Wade, 1994)

1. Asam stearat

Nama kimia : Octadecanoic acid

Rumus molekul : C₁₈H₃₆O₂

Berat molekul : 284,47

Fungsi : emulgator

Sifat fisika kimia :

Pemerian : Kristal padat, keras atau serbuk warna putih atau agak kekuningan, sedikit berbau dan berasa

Kelarutan : Mudah larut dalam benzena, karbon tetraklorida, kloroform, dan eter; larut dalam etanol, heksan dan propilenglikol; praktis tidak larut dalam air.

Titik lebur : > 54°C

2. Setil alkohol

Nama kimia : Hexadecan-1-ol

Rumus molekul : C₁₆H₃₄O

Berat molekul : 242,44

Fungsi : emulgator, emolien, humektan, meningkatkan viskositas

Sifat fisika kimia

Pemerian : granul atau serpihan putih, seperti malam (lilin), bau agak khas dan rasa lembut

Kelarutan : mudah larut dalam etanol dan eter; praktis tidak larut dalam air; campur dengan lelehan lemak, parafin padat dan cair, serta isopropil miristat

Titik lebur : 46-52°C

3. Metil paraben

Nama kimia : Methyl-4-hydroxybenzoate

Rumus molekul : C₈H₈O₃

Berat molekul : 152,15

Fungsi : pengawet

Sifat fisika kimia

Pemerian : hablur kristal putih atau kristal tidak berwarna; tidak berbau; sedikit memiliki rasa yang membakar

Kelarutan : dalam etanol (1 : 3), dalam gliserin (1 : 60), praktis tidak larut dalam minyak mineral, dalam propilenglikol (1 : 5), dalam air (1 : 400)

Titik lebur : 125-128°C

4. Propil paraben

Nama kimia : Propyl-4-hydroxybenzoate

Rumus molekul : C₁₀H₁₂O₃

Berat molekul : 180,20

Fungsi : pengawet

Sifat fisika kimia

Pemerian : kristal atau serbuk putih, tidak berbau dan tidak berasa.

Kelarutan : mudah larut dalam aseton dan eter; larut dalam etanol (1:1); dalam gliserin (1:250); dalam metanol (1:0,8); dalam minyak mineral (1:3330); dalam propilenglikol (1:3,9); dalam air (1:2500)

Titik lebur : 95-98°C

5. *Span 80*

Nama kimia : (Z)-Sorbiton mono-9-octadecanoate

Rumus molekul : C₂₄H₄₄O₆

Berat molekul : 431

Fungsi : emulgator, meningkatkan kelarutan, pembasah

Sifat fisika kimia

Pemerian : berupa cairan kental, berwarna kuning

Kelarutan : umumnya larut atau terdispersi dalam minyak; juga larut dalam kebanyakan pelarut organik; dalam air meski tidak larut tapi dapat terdispersi.

6. *Tween 80*

Nama kimia : Polyoxyethylen 20 Sorbiton Monostearat

Rumus molekul : C₆₄H₁₂O₂₆

Berat molekul : 1310

Fungsi : emulgator, surfaktan nonionik, pembasah, *solubilizing agent*.

Sifat fisika kimia

Pemerian : cairan seperti minyak, warna kuning dengan bau khas dan rasa hangat, kadang-kadang ada rasa pahit.

Kelarutan : larut dalam etanol; tidak larut dalam minyak mineral dan minyak tumbuhan; larut dalam air

7. *Sorbitol sol. (70%)*

Nama kimia : D-Glucitol

Rumus molekul : C₆H₁₄O₆

Berat molekul : 182,17

Fungsi : humektan, pemanis, *plasticizer, anticaplockking*

Sifat fisika kimia

Pemerian : serbuk kristal higroskopis, putih atau hampir tidak berwarna, tidak berbau, memiliki 4 bentuk kristal polimorf dan 1 bentuk amorf, memiliki rasa yang enak, sejuk dan manis.

Kelarutan : larut dalam etanol (1:25); sedikit larut dalam metanol;
sangat mudah larut dalam air (1:0,5)

Titik lebur : 110-112°C (bentuk amorf)

2.6 Evaluasi Efektifitas Sediaan Tabir Surya

Uji efektifitas sediaan tabir surya dapat dilakukan dengan cara penentuan nilai % transmisi eritema dan % transmisi pigmentasi atau berdasarkan nilai *sun protection factor* (SPF) yang dapat ditentukan secara invitro menggunakan spektrofotometer dan secara invivo menggunakan *solar stimulator* (Lowe, 1990).

Metode % transmisi eritema dan % transmisi pigmentasi selain dapat diketahui kemampuan sediaan dalam mencegah eritema juga dapat diketahui kemampuannya mencegah pigmentasi. Sedangkan metode *sun protection factor* (SPF) merupakan metode resmi di Amerika Serikat dimana *Food and Drug Administration* (FDA) mempersyaratkan bahwa tiap produk tabir surya harus mencantumkan nilai SPF-nya (Petro, 1981).

2.6.1 Persen Transmisi Eritema dan Persen Transmisi Pigmentasi

a. Persen transmisi eritema

Efek eritema yang ditimbulkan oleh energi radiasi sinar matahari terjadi pada panjang gelombang 290-400 nm. Transmisi eritema sediaan tabir surya atau fluks eritema yang diteruskan oleh sediaan dapat ditentukan secara spektrofotometri dengan mengukur intensitas sinar yang diteruskan oleh sediaan tersebut pada panjang gelombang eritemogenik kemudian dikalikan dengan fluks eritemanya, sedangkan % transmisi eritema adalah prosentase total fluks eritema yang diteruskan oleh sediaan (Gunn and Carter, 1975; Cumpelik, 1972).

b. Persen transmisi pigmentasi

Transmisi pigmentasi juga dapat ditentukan secara spektrofotometri dengan mengukur intensitas sinar yang diteruskan oleh sediaan tersebut pada rentang gelombang pigmentasi kemudian dikalikan dengan fluks pigmentasinya, sedangkan % transmisi pigmentasi adalah prosentase total fluks pigmentasi yang diteruskan oleh sediaan (Gunn and Carter, 1975; Cumpelik, 1972).

2.6.2 Penentuan Nilai SPF

Nilai *sun protection factor* (SPF) didefinisikan sebagai energi sinar ultraviolet yang diperlukan untuk menghasilkan suatu *Minimum Erythema Dose* (MED) dalam detik pada “kulit terlindungi” dibagi dengan energi sinar ultraviolet untuk menghasilkan MED pada kulit tak terlindungi. Dimana kulit terlindungi yaitu kulit yang telah diolesi sediaan tabir surya sebanyak 2 mg/cm^2 atau $2 \text{ mikroliter/cm}^2$ pada bagian “terlindungi”(Petro,1981).

Hubungan antara tipe kulit dengan nilai SPF adalah sebagai berikut (Harry,1982):

- Kulit tipe I dianjurkan menggunakan produk dengan nilai SPF 8-15
- Kulit tipe II dianjurkan menggunakan produk dengan nilai SPF 6-7
- Kulit tipe III dianjurkan menggunakan produk dengan nilai SPF 4-5
- Kulit tipe IV dianjurkan menggunakan produk dengan nilai SPF 2-3
- Kulit tipe V dianjurkan menggunakan produk dengan nilai SPF 2
- Kulit tipe VI tidak ada petunjuk

Nilai SPF ini dapat ditentukan secara *in vivo* maupun *invitro*.

a. Evaluasi secara *in vivo*

Pada evaluasi ini digunakan sinar matahari atau sumber sinar ultraviolet buatan (*solar stimulator*), yang menghasilkan radiasi pada panjang gelombang 290-320 nm (UV-B)

Subjek manusia dipilih yang tidak terdapat *sunburn*, bekas luka, luka, kelainan warna kulit, rambut yang berlebihan dan lain-lain. Letak evaluasi ditandai dengan pola berlubang persegi empat yang paling sedikit mempunyai luas 1 cm^2 , kemudian diolesi dengan bahan yang akan diuji sebanyak 2 miligram/cm^2 atau $2 \text{ mikroliter/cm}^2$ pada bagian “terlindungi”, pada bagian tak terlindungi tidak diberi apapun. Lalu disinari dengan sinar matahari atau *solar stimulator* dan dicatat waktu yang diperlukan untuk memperoleh MED pada tiap bagian tersebut (Petro,1981).

$$\text{SPF} = \frac{\text{Waktu paparan (MED kulit terlindungi)}}{\text{Waktu paparan (MED kulit tak terlindungi)}}$$

b. Evaluasi secara in vitro

Sun Protection Factor dapat ditentukan dengan metode spektrofotometri.

Hubungan antara SPF dan spektrofotometri adalah :

$$\text{SPF} = 10^{\text{A}_{\text{rata-rata}}} \text{ atau} \quad (\text{a})$$

$$\text{Log SPF} = \frac{\text{Luas}(AUC)}{(\lambda_n - \lambda_l)} = A_{\text{rata}} = A_s \quad (\text{b})$$

Dimana A_{rata} adalah serapan tabir surya atau A_s dan $(\lambda_n - \lambda_l)$ adalah interval aktifitas eritemogenik.

Persamaan (b) dapat digunakan untuk meramalkan nilai SPF untuk larutan tertentu dengan mengukur luas daerah dibawah kurva serapan dan dibagi dengan interval panjang gelombang pengukuran. UV-B yang menyebabkan eritema mempunyai panjang gelombang 290-320 nm, tetapi lapisan ozon menyaring semua panjang gelombang di bawah 290 nm, maka panjang gelombang tersebut dapat dipakai sebagai λ_l . Sedangkan untuk λ_n digunakan panjang gelombang diatas 320 nm (sampai serapan = 0,05) dimana sediaan tidak mempunyai serapan lagi atau panjang gelombang yang menyebabkan kepekahan kulit dapat diabaikan.

Sediaan tabir surya yang menyerap UV-A saja tidak efektif dalam mencegah eritema karena kulit lebih peka terhadap UV-B. Sehingga untuk meramalkan nilai SPF sediaan tabir surya akan lebih teliti jika digunakan luas daerah dibawah kurva serapan pada interval panjang gelombang 290-390 nm (Jellinek, 1970).

BAB III

METODE PENELITIAN

3.1 Bahan-bahan

Bahan-bahan yang digunakan pada penelitian ini bila tidak disebutkan lain mempunyai derajat kemurnian “pharmaceutical grade”. Bahan-bahan tersebut antara lain :

1. Oktil Dimetil PABA p.a (ISP Technologies, Inc)
2. Oksibenson p.a (Bronson and Jacobs PTY Limited)
3. Asam Stearat (PT. Brataco)
4. Setil Alkohol (PT. Brataco)
5. Span 80 (PT. Brataco)
6. Tween 80 (PT. Brataco)
7. Metil paraben (PT. Brataco)
8. Propil paraben (PT. Brataco)
9. Larutan Sorbitol 70 % (PT. Brataco)
10. Aquadest (PT. Brataco)
11. Isopropanol p.a (PT. Kurnia Jaya)

3.2 Alat-alat

Alat-alat yang dipakai pada penelitian ini adalah :

1. Alat-alat gelas
2. Spektrophotometer UV Perkin-Elmer.
3. pH-meter SCHOTT model 230 A
4. Alat Uji Daya Sebar
5. Neraca analitik dan timbangan miligram

3.3 Uji kualitatif

3.3.1 Oksibenson

3.3.1.1 Pembuatan Kurva Serapan Oksibenson

Pembuatan kurva serapan oksibenson dilakukan dengan cara sebagai berikut :

- a. Sebagai larutan induk, ditimbang teliti 50,0 mg oksibenson dilarutkan dalam isopropanol ad 50,0 ml.
- b. Dari larutan induk dibuat larutan oksibenson dalam isopropanol dengan kadar 5 ppm dan 10 ppm.
- c. Selanjutnya dilakukan pengamatan nilai serapannya pada rentang panjang gelombang 290-400 nm dengan jarak skala tiap kali pengamatan 2 nm.
- d. Profil spektra serapan yang diperoleh dibandingkan dengan pustaka.

3.3.2 Oktil Dimetil PABA

3.3.2.1 Pembuatan Kurva Serapan Oktil dimetil PABA

- a. Sebagai larutan induk, ditimbang teliti 250,0 mg Oktil Dimetil PABA dilarutkan dalam isopropanol ad 25,0 ml.
- b. Dari larutan induk dibuat larutan oktil dimetil PABA dalam isopropanol dengan kadar 5 dan 10 ppm.
- c. Kemudian dilakukan pengamatan nilai serapannya pada rentang panjang gelombang 290-400 nm dengan jarak skala tiap kali pengamatan 2 nm.
- d. Profil spektra serapan yang diperoleh dibandingkan dengan pustaka.

3.4. Pembuatan Sediaan Tabir Surya

3.4.1. Pembuatan basis *Vanishing Cream*

Formula basis krim yang dipakai adalah formula basis *vanishing cream* di bawah ini (Lachman,1970 yang dimodifikasi) :

| | | |
|----|-----------------------|--------|
| R/ | Asam stearat | 14 % |
| | Setil alkohol | 2 % |
| | Metil paraben | 0,1 % |
| | Propil paraben | 0,05 % |
| | Span 80 | 0,5 % |
| | Tween 80 | 4,5 % |
| | Larutan Sorbitol 70 % | 3 % |
| | Aqua ad | 100 % |

Cara pembuatan :

Dibuat leburan fase minyak di atas penangas air pada suhu 70°C, yang terdiri atas : asam stearat, setil alkohol, span 80, dan propil paraben. Dibuat leburan fase air di atas penangas air pada suhu 70°C, yang terdiri atas : metil paraben, Tween 80, larutan sorbitol 70%, dan aqua. Selanjutnya dituangkan fase air secara perlahan-lahan ke dalam fase minyak pada suhu yang sama (70°C), aduk sampai homogen dan dingin, kemudian diadkan dengan aqua sampai 100 %.

3.4.2. Pembuatan Sediaan Tabir Surya

Sediaan tabir surya dibuat dengan cara :

- Ditimbang Oksibenson, dilarutkan dalam Oktil dimetil PABA sesuai kadar pada masing-masing formula
- Tambahkan basis krim pada (a) sejumlah tertentu sesuai formula masing-masing.

Tabel III.1 Rancangan Formula Sediaan Tabir Surya

| KOMPOSISI | Kadar komponen dalam masing-masing formula (%) | | | | | | | | |
|-----------------------|--|----|-----|----|----|----|----|----|-----|
| | I | II | III | IV | V | VI | K1 | K2 | K3 |
| Oksibenson | 3 | 3 | 3 | 4 | 4 | 4 | 4 | - | - |
| Oktil dimetil PABA | 3 | 5 | 7 | 3 | 5 | 7 | - | 7 | - |
| Basis | 94 | 92 | 90 | 93 | 91 | 89 | 96 | 93 | 100 |

3.5. Uji Mutu Fisik Sediaan Tabir Surya**3.5.1. Uji Organoleptis Sediaan Tabir Surya**

- Bentuk dan tekstur
- Warna
- Bau

3.5.2. Penetuan Daya Sebar Sediaan Tabir Surya

Alat : Lempeng kaca berbentuk lingkaran dengan diameter 20 cm tebal 2 mm. lempeng bawah berskala, berat lempeng atas 141 gram

Cara : Ditimbang 1 gram sediaan dan diletakkan di tengah-tengah lempeng kaca. Kemudian ditutup dengan lempeng kaca lainnya. Selanjutnya diamati diameter penyebarannya sampai sediaan tidak bergeser. Kemudian penambahan beban dilakukan secara bertahap tiap kelipatan 10 gram dan diamati diameternya.

Pengamatan dilakukan pada hari ke-2, 7, 14, 30 dan 60 setelah pembuatan.

3.5.3. Uji Stabilitas pH Sediaan Tabir Surya

Alat : pH meter SCHOTT Model 230A

Cara : Elektroda dicuci terlebih dahulu dengan aqua dan dikeringkan, Selanjutnya distandardasi dengan buffer standar. Ditimbang 1 gram sediaan krim kemudian diencerkan dengan air suling bebas CO₂ ad 10 ml. Kemudian elektroda dimasukkan kedalam sediaan yang sudah diencerkan dan diukur pH-nya dengan pH meter.

3.6. Penentuan Efektifitas Sediaan Tabir Surya

3.6.1. Penentuan Serapan Basis Krim

Metode analisis penentuan efektifitas basis krim adalah sebagai berikut (Cumpelik, 1972):

- a. Ditimbang 100,0 mg basis krim, dilarutkan dalam isopropanol 2 ml, kemudian ditambahkan isopropanol sampai garis tanda pada labu ukur 100,0 ml (1000 ppm), dan dikocok sampai homogen.
- b. Dipipet 1 ml larutan (a) dan diencerkan dengan isopropanol sampai garis tanda pada labu ukur 10,0 ml (100 ppm).
- c. Dipipet 1 ml larutan (b) dan diencerkan dengan isopropanol sampai garis tanda pada labu ukur 10,0 ml (10 ppm). Diamati serapannya pada panjang gelombang 290-400 nm dengan rentang pengamatan 2 nm.

3.6.2. Penentuan Efektifitas Sediaan Tabir surya

Metode analisis penentuan efektivitas sediaan tabir surya adalah sebagai berikut :

- a. Ditimbang 150,0 mg sediaan tabir surya, dilarutkan dalam isopropanol 2 ml, kemudian ditambahkan isopropanol sampai garis tanda pada labu ukur 5,0 ml (30000 ppm), dan dikocok sampai homogen.
- b. Dipipet 0,5 ml larutan (a) dan diencerkan dengan isopropanol sampai garis tanda pada labu ukur 5,0 ml (3000 ppm).
- c. Dipipet 1 ml larutan (b) dan diencerkan dengan isopropanol sampai garis tanda pada labu ukur 10,0 ml (300 ppm).
- d. Dipipet 2,5 ml larutan (c) dan diencerkan dengan isopropanol sampai garis tanda pada labu ukur 10 ml (75 ppm). Diamati serapannya pada panjang gelombang 290-400 nm dengan rentang pengamatan 2 nm. Dilakukan replikasi 3 kali untuk masing-masing formula.

3.7. Pengolahan Data

Untuk menentukan nilai SPF dilakukan dengan cara sebagai berikut (Petro, 1981) :

1. Dari nilai serapan pada C mg/l hasil pengamatan diubah menjadi nilai serapan pada konsentrasi 10 mg/l untuk masing-masing panjang gelombang yang berurutan.
2. Dihitung luas daerah di bawah kurva antara rentang panjang gelombang terkecil hingga terbesar dengan cara membagi jumlah serapan pada $\lambda_{\text{p-a}}$ dan serapan pada λ_p dengan 2, kemudian dikalikan dengan hasil pengurangan 2 panjang gelombang yang berurutan ($\lambda_p - \lambda_{\text{p-a}}$). Keseluruhan luas daerah di bawah kurva serapan diperoleh dengan cara menjumlahkan tiap luas daerah antara dua panjang gelombang yang berurutan, dari panjang gelombang 290 nm hingga panjang gelombang di atas 320 nm yang mempunyai nilai serapan 0,05.
3. Dihitung nilai *Log Sun Protection Factor* (Log SPF) dengan cara membagi luas daerah di bawah kurva dengan pengurangan panjang gelombang terbesar dengan panjang gelombang terkecil, kemudian dikalikan dengan 2.
4. Dari nilai Log SPF yang diperoleh kemudian diubah menjadi harga SPF.

3.8. Analisis Data

Untuk uji stabilitas pH dari sediaan dilakukan pada masing-masing formula dengan waktu pengamatan pada hari ke 2, 7, 14, 30 dan 60. Metode analisis yang digunakan adalah ANOVA one way menggunakan CRD (*completely randomized design*) untuk memastikan apakah ada perbedaan yang bermakna antar hari, jika ada perbedaan bermakna lebih dari satu pasang maka formula tersebut dapat dikatakan tidak stabil.

Untuk melihat adanya perbedaan yang bermakna dari SPF (*Sun Protection Factor*) antar formula pada klasifikasi yang sama sebagai tabir surya, digunakan Anova Acak Lengkap (CRD) pada $\alpha = 0,05$. Dari analisis tersebut didapat harga F hitung yang kemudian dibandingkan dengan F tabel. Bila F hitung lebih kecil dari F tabel, berarti tidak ada perbedaan yang bermakna antar formula, jika F hitung lebih besar dari F tabel, berarti ada perbedaan bermakna minimal satu pasang formula. Apabila ada perbedaan bermakna, maka untuk mengetahui kelompok mana saja yang berbeda maka digunakan Post Hoc test (uji HSD).

$$HSD = q_{\alpha, k, N-k} \sqrt{\frac{MS_E}{n}}$$

Dimana :

harga $q_{\alpha, k, N-k}$ diperoleh dari tabel q

t diperoleh dari tabel t

n = jumlah pengamatan

Setelah itu dibuat tabel selisih $X_a - X_b$, dan jika harga $X_a - X_b >$ harga HSD berarti ada perbedaan bermakna pada kelompok pasangan tersebut.

$X_a - X_b$ = Pasangan kelompok yang akan diuji.

Perhitungan luas daerah di bawah kurva serapan

Dari nilai serapan yang diperoleh, kemudian dibuat kurva antara nilai serapan dan panjang gelombang. Luas daerah antara rentang panjang gelombang terkecil dapat dihitung dengan rumus sebagai berikut :

$$[AUC] = \frac{Ap - a + Ap}{2} (\lambda_p - \lambda_{(p-a)})$$

dimana :

AUC = Luas daerah di bawah kurva serapan

Ap = Serapan pada panjang gelombang p

Ap-a = Serapan pada panjang gelombang p-a

Keseluruhan luas daerah di bawah kurva serapan diperoleh dengan menjumlahkan tiap luas daerah antara dua panjang gelombang yang berurutan dari panjang gelombang 290 nm hingga panjang gelombang di atas 390 nm dengan nilai serapan 0,050.

Perhitungan SPF (*Sun Protection Factor*)

Dari luas daerah di bawah kurva serapan dapat dihitung SPF dengan rumus sebagai berikut :

$$\text{Log SPF} = \frac{\text{Luas(AUC)}}{(\lambda_n - \lambda_l)} \times 2$$

Dimana : AUC = Luas daerah dibawah kurva serapan

λ_n = panjang gelombang terbatas diatas 290 nm
dengan nilai serapan 0,050

λ_l = panjang gelombang terkecil (290 nm)

Tabel III.2. Kategori sediaan tabir surya berdasarkan nilai SPF (Shaath, 1990) :

| NO | NILAI SPF | KATEGORI |
|----|---------------|--|
| 1 | 2-4 | <i>Minimal Sun Protection Product</i> , memberikan perlindungan sedang dari sunburn, dapat menyebabkan tanning. |
| 2 | 4-6 | <i>Moderate Sun Protection Product</i> , memberikan perlindungan sedang dari sunburn, dapat menyebabkan beberapa tanning. |
| 3 | 6-8 | <i>Extra Sun Protection Product</i> , memberikan perlindungan ekstra dari sunburn, dapat memberikan tanning yang terbatas. |
| 4 | 8-15 | <i>Maximal Sun Protection Product</i> , memberikan perlindungan maksimal dari sunburn, sedikit atau tidak menyebabkan tanning. |
| 5 | 15 atau lebih | <i>Ultra Sun Protection Product</i> , memberikan perlindungan yang paling tinggi dari sunburn dan tidak menyebabkan tanning. |

BAB IV

HASIL PENELITIAN DAN PEMBAHASAN

4.1 Hasil Uji Kualitatif bahan Aktif

4.1.1 Kurva Serapan Oksibenson

Sebagai tahap awal dari penelitian ini dilakukan uji kualitatif terhadap bahan aktif tabir surya oksibenson dan oktil dimetil PABA dengan cara membuat profil spektra serapan ultraviolet. Hasil pengamatan nilai serapan dari oksibenson dalam isopropanol dengan kadar 5 ppm dan 10 ppm diperoleh profil spektra yang identik dengan profil spektra oksibenson pustaka dengan serapan maksimum pada panjang gelombang 286 nm. Hasil pengamatan nilai serapan dapat dilihat pada tabel IV.1, gambar 4.1 (a), 4.1 (b)

Tabel IV.1 Nilai serapan oksibenson dalam pelarut isopropanol p.a pada berbagai panjang gelombang dengan kadar 5 ppm dan 10 ppm

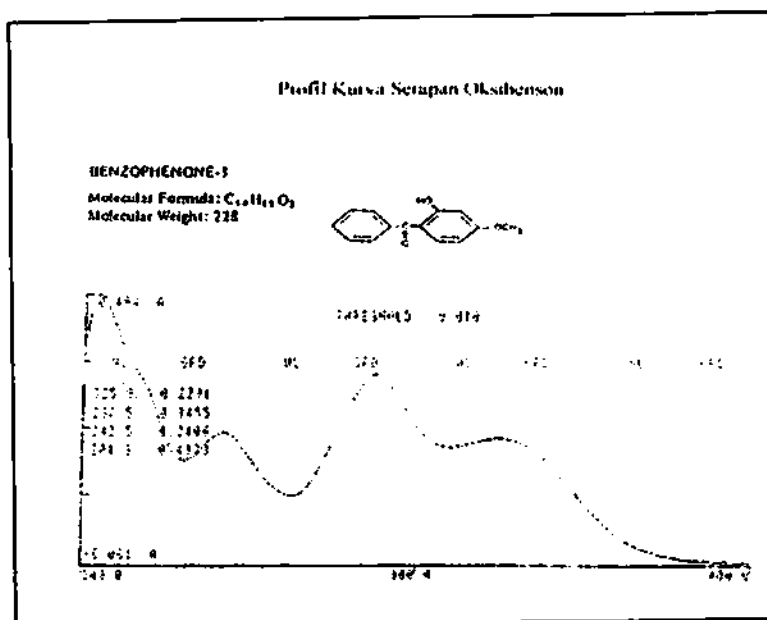
| λ nm | Nilai Serapan | | λ nm | Nilai Serapan | |
|-----------------|---------------|--------|-----------------|---------------|--------|
| | 5 ppm | 10 ppm | | 5 ppm | 10 ppm |
| 256 | 0,128 | 0,245 | 282 | 0,350 | 0,625 |
| 258 | 0,118 | 0,225 | 284 | 0,361 | 0,647 |
| 260 | 0,113 | 0,216 | 286* | 0,363 | 0,649 |
| 262 | 0,114 | 0,219 | 288 | 0,354 | 0,632 |
| 264 | 0,122 | 0,233 | 290 | 0,341 | 0,604 |
| 266 | 0,139 | 0,258 | 292 | 0,321 | 0,568 |
| 268 | 0,161 | 0,293 | 294 | 0,301 | 0,527 |
| 270 | 0,190 | 0,342 | 296 | 0,285 | 0,488 |
| 272 | 0,213 | 0,393 | 298 | 0,269 | 0,453 |
| 274 | 0,246 | 0,442 | 300 | 0,257 | 0,426 |
| 276 | 0,279 | 0,499 | 302 | 0,248 | 0,409 |
| 278 | 0,303 | 0,550 | 304 | 0,244 | 0,399 |
| 280 | 0,328 | 0,599 | 306 | 0,242 | 0,393 |

Keterangan : * panjang gelombang maksimum

WAVELENGTH SCAN/OKPAD



Gambar 4.1.(a) Profil spektra hubungan antara nilai serapan (A) dan panjang gelombang (nm) oksibenson dengan konsentrasi 5 dan 10 ppm dalam pelarut isopropanol p.a



Gambar 4.1 (b) Profil spektra UV oksibenson pustaka (Idson,B.,1986)

4.1.2 Kurva serapan Oktil Dimetil PABA

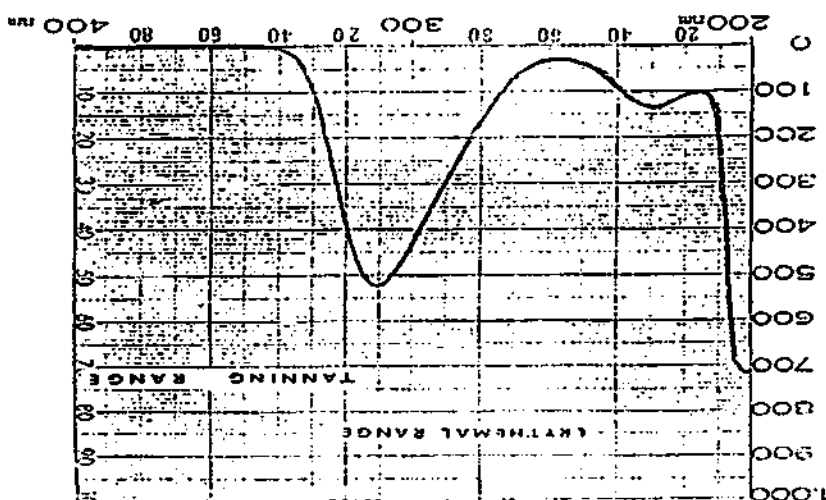
Hasil pengamatan nilai serapan dari oktil dimetil PABA dalam isopropanol dengan kadar 5 ppm dan 10 ppm diperoleh profil spektra yang identik dengan profil spektra oktil dimetil PABA pustaka dengan serapan maksimum pada panjang gelombang 308 nm sesuai dengan pustaka (Latifah, 2001). Hasil pengamatan nilai serapan dapat dilihat pada tabel IV.2, gambar 4.2 (a), 4.2 (b)

Tabel IV.2 Nilai serapan oktil dimetil PABA dalam pelarut isopropanol p.a pada berbagai panjang gelombang dengan kadar 5 ppm dan 10 ppm

| λ nm | Nilai Serapan | | λ nm | Nilai Serapan | |
|-----------------|---------------|--------|-----------------|---------------|--------|
| | 5 ppm | 10 ppm | | 5 ppm | 10 ppm |
| 280 | 0,185 | 0,412 | 304 | 0,531 | 1,044 |
| 282 | 0,210 | 0,475 | 306 | 0,545 | 1,072 |
| 284 | 0,248 | 0,527 | 308* | 0,550 | 1,078 |
| 286 | 0,272 | 0,570 | 310 | 0,541 | 1,058 |
| 288 | 0,304 | 0,625 | 312 | 0,523 | 1,008 |
| 290 | 0,337 | 0,685 | 314 | 0,486 | 0,950 |
| 292 | 0,361 | 0,737 | 316 | 0,436 | 0,857 |
| 294 | 0,392 | 0,800 | 318 | 0,393 | 0,747 |
| 296 | 0,424 | 0,851 | 320 | 0,314 | 0,644 |
| 298 | 0,458 | 0,906 | 322 | 0,261 | 0,509 |
| 300 | 0,483 | 0,965 | 324 | 0,193 | 0,393 |
| 302 | 0,514 | 1,004 | 326 | 0,132 | 0,279 |

Keterangan : * panjang gelombang maksimum

Gambar 4.2 (b) Profil spektra UV oktil dimetyl PABA pustaka (Latifah, 2001)



Gambar 4.2 (a) Profil spektrs hubungan antara nilai serapan (A) dan panjang gelombang (nm) oktil dimetyl PABA dengan konsentrasi 5 dan 10 ppm dalam pelarut isopropanol p.a

4.2 Hasil Uji Mutu Fisik Sediaan tabir Surya

4.2.1 Hasil Pemeriksaan Organoleptis

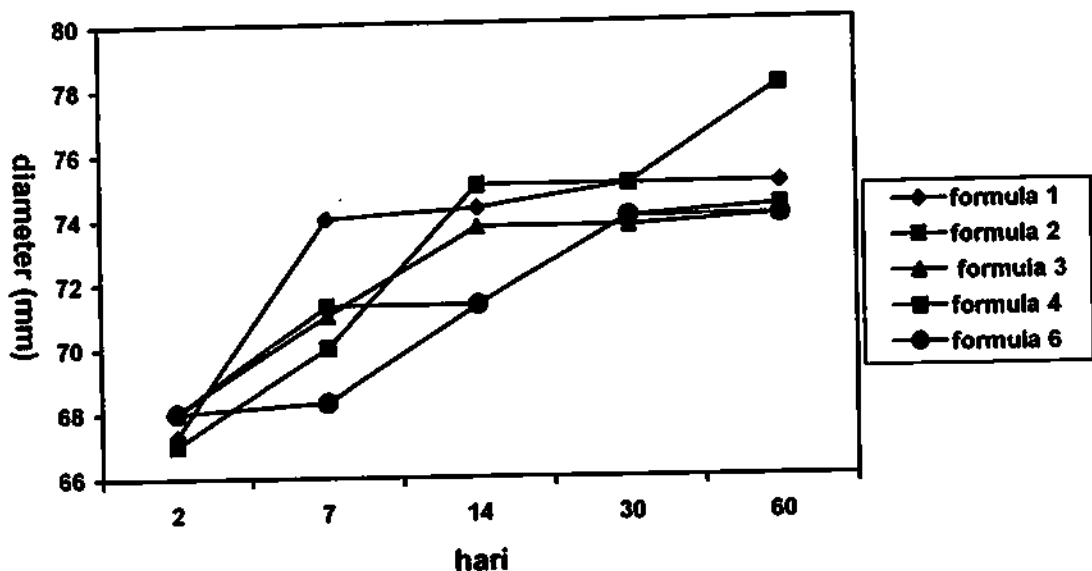
Hasil uji karakteristik sediaan tabir surya dengan bahan aktif kombinasi oksibenson dan oktil dimetil PABA dalam basis *vanishing cream* menunjukkan sediaan berbentuk setengah padat, bertekstur lembut, dan berwarna putih, hasil selengkapnya dapat dilihat pada tabel IV.3.

Tabel IV.3 Hasil Uji Karakteristik Sediaan Tabir Surya Kombinasi Oksibenson dan Oktol dimetil PABA dalam basis *Vanishing Cream*

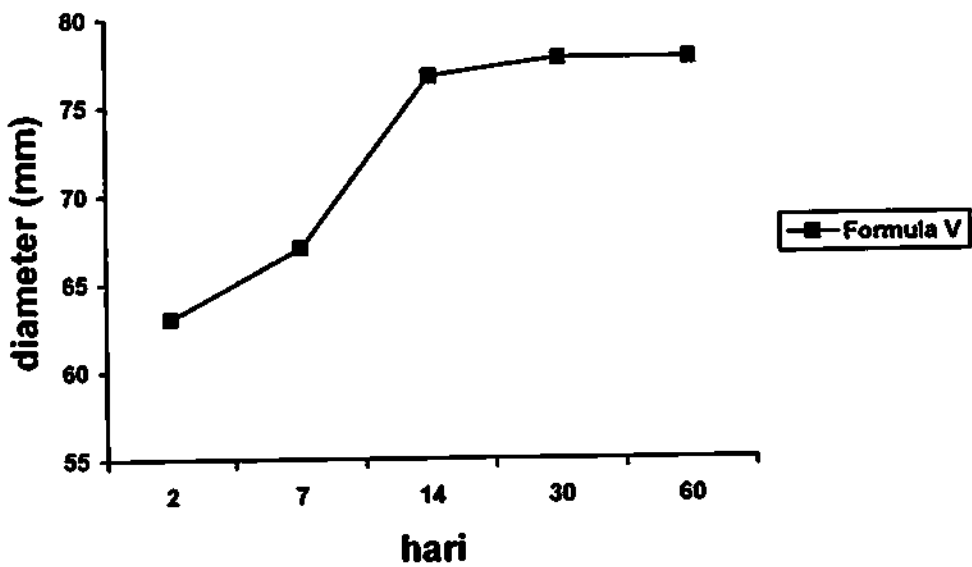
| Formula | Komponen Bahan Aktif | | Organoleptis | | |
|---------|----------------------|--------------------|-----------------------|-------|-----|
| | Oksibenson | Oktol Dimetil PABA | Bentuk | Warna | Bau |
| I | 3 | 3 | Setengah padat, halus | Putih | - |
| II | 3 | 5 | Setengah padat, halus | Putih | - |
| III | 3 | 7 | Setengah padat, halus | Putih | - |
| IV | 4 | 3 | Setengah padat, halus | Putih | - |
| V | 4 | 5 | Setengah padat, halus | Putih | - |
| VI | 4 | 7 | Setengah padat, halus | Putih | - |

4.2.2 Hasil Pengamatan Daya Sebar

Daya sebar sediaan merupakan bagian dari psikoreologi yang dapat dijadikan sebagai parameter aseptabilitas. Suatu sediaan lebih disukai bila dapat menyebar dengan mudah pada kulit. Pemeriksaan daya sebar sediaan dilakukan pada hari ke 2, 7, 14, 30 dan 60 setelah perbuatan. Penambahan beban dilakukan tiap kelipatan 10 gram sampai tercapai diameter yang konstan. Dari hasil pengamatan daya sebar diperoleh profil dan bobot konstan yang sama yaitu 90 gram pada formula I, II, III, IV dan VI.. Sedangkan pada formula V stabil pada bobot 100 gram. Profil daya sebar dapat dilihat pada gambar 4.3 dan gambar 4.4.

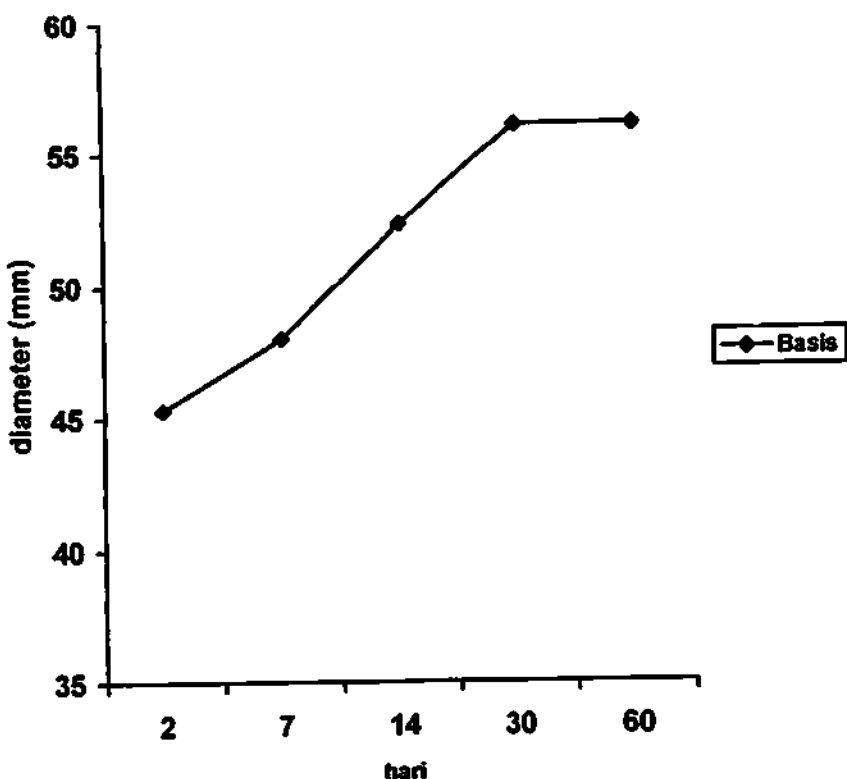


Gambar 4.3 Profil Daya Sebar Sediaan tabir surya berbagai formula pada bobot konstan 90 gram pada pengamatan hari ke 2, 7, 14, 30 dan 60 setelah pembuatan



Gambar 4.4 Profil Daya Sebar Sediaan tabir surya Formula V pada bobot konstan 100 mg pada pengamatan hari ke 2, 7, 14, 30 dan 60 setelah pembuatan

Meskipun bobot konstan berbeda antara formula V dengan formula yang lain, tetapi profil daya sebar secara keseluruhan sama, dan apabila dibandingkan dengan basis daya sebar seluruh formula lebih baik. Karena penambahan bahan aktif menyebabkan konsistensi sediaan lebih lunak, sehingga lebih mudah menyebar. Profil daya sebar basis dapat dilihat pada gambar 4.5



Gambar 4.5 Profil Daya Sebar basis pada bobot konstan 30 gram pada pengamatan hari ke 2, 7, 14, 30 dan 60 setelah pembuatan

4.2.3 Hasil Uji Stabilitas pH

Hasil pemeriksaan pH sediaan menggunakan pH meter SCHOTT, dengan suhu 25-30 °C pada hari ke 2, 7, 14, 30 dan 60 setelah pembuatan dapat dilihat pada tabel IV.4 berikut

Tabel IV.4 Hasil Pemeriksaan pH Sediaan Tabir Surya dengan bahan aktif Oksibenson dan Oktil Dimetil PABA pada pengamatan hari ke- 2, 7, 14, 30, dan 60 setelah pembuatan

| Formula | pH pada hari ke- | | | | | | | | | |
|---------|------------------|------|--------|------|--------|------|--------|------|--------|------|
| | 2 | | 7 | | 14 | | 30 | | 60 | |
| | Rerata | %KV | Rerata | %KV | Rerata | %KV | Rerata | %KV | Rerata | %KV |
| I | 4,88 | 6,37 | 4,69 | 6,96 | 4,75 | 7,90 | 4,66 | 3,74 | 4,74 | 5,92 |
| II | 4,81 | 6,96 | 5,01 | 6,69 | 4,92 | 3,82 | 4,70 | 1,47 | 4,57 | 0,63 |
| III | 4,78 | 2,24 | 4,93 | 6,60 | 4,96 | 1,45 | 4,94 | 3,60 | 5,07 | 3,70 |
| IV | 4,69 | 3,87 | 4,74 | 3,96 | 4,75 | 6,74 | 4,87 | 6,75 | 4,99 | 8,22 |
| V | 4,87 | 7,23 | 4,78 | 8,36 | 4,77 | 3,79 | 4,82 | 3,89 | 4,76 | 8,98 |
| VI | 4,81 | 4,99 | 4,86 | 2,45 | 5,12 | 7,33 | 4,68 | 2,43 | 4,82 | 6,33 |
| Basis | 5,00 | 5,15 | 4,52 | 0,46 | 4,87 | 6,95 | 4,75 | 0,95 | 4,80 | 4,85 |

Keterangan :

Formula I = Oksibenson : Oktil Dimetil PABA (3:3) Formula IV = Oksibenson : Oktil Dimetil PABA (4:3)

Formula II = Oksibenson : Oktil Dimetil PABA (3:5) Formula V = Oksibenson : Oktil Dimetil PABA (4:5)

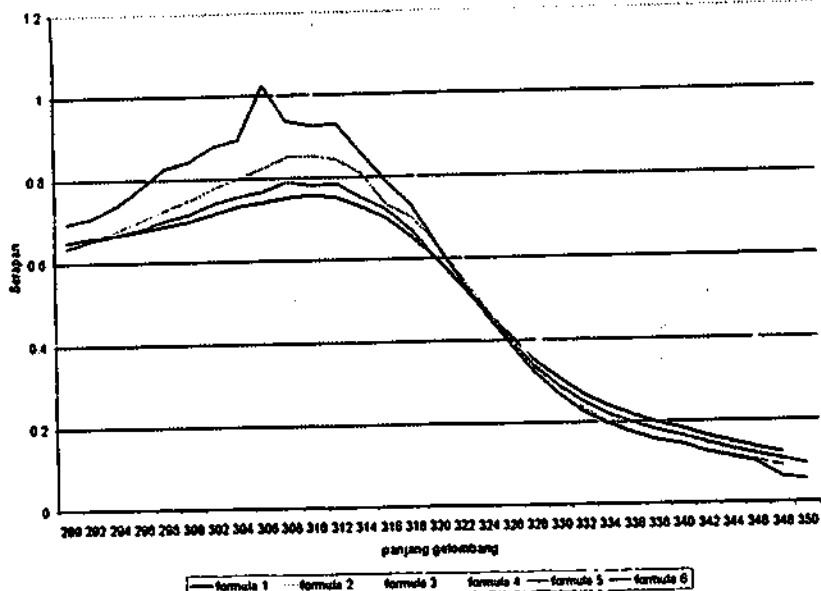
Formula III = Oksibenson : Oktil Dimetil PABA (3:7) Formula VI = Oksibenson : Oktil Dimetil PABA (4:7)

Hasil pengamatan pH sediaan yang dihasilkan berkisar antara 4,51 – 5,38. Pengamatan pH sediaan dilakukan pada hari ke 2, 7, 14, 30 dan 60 setelah pembuatan. Untuk mengetahui stabilitas sediaan dari masing-masing formula dilakukan uji statistik ANOVA *one way* antar hari pengamatan. Dari hasil uji ANOVA diperoleh F_{hitung} untuk formula I = 0,226; formula II = 1,290; formula III = 1,534; formula IV = 0,494; formula V = 0,056 dan formula VI = 1,214 lebih kecil dari $F_{tabel} = 3,48$. Berarti tidak ada perbedaan bermakna pH sediaan antar hari pengamatan, sehingga dapat disimpulkan bahwa seluruh formula stabil selama penyimpanan 60 hari. Untuk mengetahui adanya pengaruh perbedaan konsentrasi bahan aktif antar formula terhadap pH, dilakukan uji statistik ANOVA antara pH masing-masing formula pada pengamatan hari ke 60. Dari hasil uji ANOVA diperoleh $F_{hitung} = 0,667$ lebih kecil dari $F_{tabel} = 3,11$. Berarti tidak ada perbedaan pH yang bermakna antar formula, sehingga dapat disimpulkan bahwa perubahan atau perbedaan komposisi konsentrasi bahan aktif tidak berpengaruh terhadap . pH sediaan

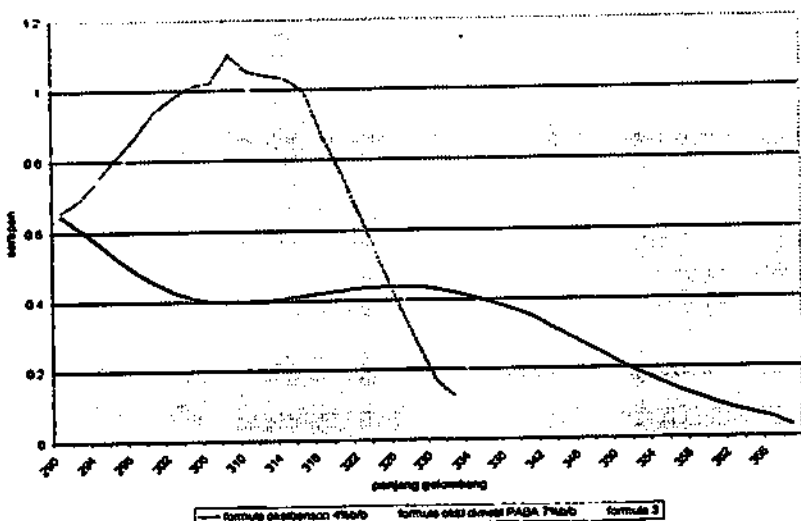
4.3 Penentuan Efektifitas Sediaan Tabir Surya

4.3.1 Pengamatan spektra serapan basis krim dan sediaan tabir surya

Hasil pengamatan serapan basis sediaan, tidak ada serapan yang teramat. Dapat disimpulkan bahwa dalam penelitian ini basis sediaan tidak mengganggu pengamatan serapan dari bahan aktif tabir surya. Hasil pengamatan profil spektra serapan dari berbagai formula dapat dilihat pada gambar 4.6 dan gambar 4.7



Gambar 4.6 Profil spektra serapan formula I, II, III, IV, V dan VI pada pengamatan dengan konsentrasi bahan aktif 10 mg/l dalam pelarut isopropanol



Gambar 4.7 profil spektra serapan formula III, formula mengandung oksibenson 4% b/b dan formula mengandung oktil dimetil PABA 7% b/b pada pengamatan dengan konsentrasi bahan aktif 10 mg/l dalam pelarut isopropanol

4.3.2 Hasil Penentuan Efektifitas Sediaan Tabir Surya

Hasil pengamatan nilai serapan sediaan tabir surya dengan bahan aktif kombinasi oksibenson dan oktil dimetil PABA serta perhitungan SPF (*Sun Protection Factor*) dapat dilihat pada tabel 1 sampai tabel 7 yang tercantum pada lampiran. Hasil perhitungan nilai SPF (*Sun Protection Factor*) rata-rata dari seluruh formula dapat dilihat pada tabel IV.5.

Tabel IV.5. Nilai SPF rata-rata Sediaan Tabir Surya Kombinasi Oksibenson dan Oktil dimetil PABA dalam Basis *Vanishing Cream*

| FORMULA | KOMPONEN | | NILAI SPF | | | | |
|---------|------------|--------------------|-----------|--------|--------|--------|------|
| | Oksibenson | Oktol Dimetil PABA | Repl.1 | Repl.2 | Repl.3 | Rerata | %KV |
| I | 3 | 3 | 9,58 | 9,41 | 9,81 | 9,60 | 2,09 |
| II | 3 | 5 | 10,75 | 10,71 | 10,91 | 10,79 | 0,98 |
| III | 3 | 7 | 15,18 | 15,25 | 15,46 | 15,30 | 0,95 |
| IV | 4 | 3 | 8,74 | 8,36 | 8,11 | 8,40 | 3,81 |
| V | 4 | 5 | 9,10 | 9,25 | 9,03 | 9,13 | 1,20 |
| VI | 4 | 7 | 12,45 | 12,41 | 12,03 | 12,30 | 1,86 |

Dari hasil penelitian ini, data yang diperoleh dikatagorikan menurut FDA (Food and Administration) yang dapat dilihat pada tabel IV.6.

Tabel IV.6. Katagori Efektifitas Sediaan Tabir Surya Kombinasi Oksibenson dan Oktil dimetil PABA dalam Basis *Vanishing Cream*

| Formula | KOMPONEN | | Nilai SPF rata-rata | Katagori efektifitas |
|---------|------------|--------------------|---------------------|---------------------------------|
| | Oksibenson | Oktol Dimetil PABA | | |
| I | 3 | 3 | 9,60 | Maksimal Sun Protection Product |
| II | 3 | 5 | 10,79 | Maksimal Sun Protection Product |
| III | 3 | 7 | 15,30 | Ultra Sun Protection Product |
| IV | 4 | 3 | 8,40 | Maksimal Sun Protection Product |
| V | 4 | 5 | 9,13 | Maksimal Sun Protection Product |
| VI | 4 | 7 | 12,30 | Maksimal Sun Protection Product |

Selanjutnya formula yang berada dalam kategori sama yaitu formula dengan katagori Maksimal *Sun Protection Product* dilakukan uji ANOVA.

Tabel IV.7. Sediaan Tabir Surya dengan Katagori *Maximal Sun Protection Product*

| Formula | Nilai SPF | | |
|---------|-------------|-------------|-------------|
| | Replikasi 1 | Replikasi 2 | Replikasi 3 |
| I | 9,58 | 9,41 | 9,81 |
| II | 10,75 | 10,71 | 10,91 |
| IV | 8,74 | 8,36 | 8,11 |
| V | 9,10 | 9,25 | 9,03 |
| VI | 12,45 | 12,41 | 12,03 |

Dari penentuan efektifitas sediaan tabir surya berdasarkan nilai SPF, diperoleh nilai SPF rata-rata secara berurutan dari formula I, II, III, IV, V dan VI yaitu 9,60; 10,79; 15,30; 8,40; 9,13 dan 12,30. Pada konsetrasi oksibenson yang tetap 3% b/b untuk formula I (3:3), formula II (3:5) dan formula III (3:7) nilai SPF meningkat dengan meningkatnya konsentrasi oktil dimetil PABA. Pada konsentrasi oksibenson 4% b/b untuk formula IV (4:3), formula V (4:5) dan formula VI (4:7) nilai SPF meningkat dengan meningkatnya konsentrasi oktil dimetil PABA. Dengan demikian dapat disimpulkan bahwa pada konsentrasi oksibenson yang sama peningkatan konsentrasi oktil dimetil PABA akan meningkatkan nilai SPF-nya. Akan tetapi pada formula dengan konsentrasi oksibenson berbeda dan oktil dimetil PABA yang sama, nilai SPF yang lebih tinggi dimiliki oleh formula yang mengandung oksibenson yang lebih kecil. Contoh, pada formula I (3:3) memiliki nilai SPF rata-rata 9,60 sedangkan pada formula IV (4:3) memiliki nilai SPF lebih rendah 8,40. Hal ini disebabkan perbedaan konsentrasi bahan aktif oksibenson berpengaruh terhadap lebar spektrum serapan sediaan sehingga berpengaruh terhadap perhitungan Log SPF (gambar 4.7).

Hasil pengelompokan nilai SPF sediaan tabir surya menurut kategori FDA diketahui formula I, II, IV, V dan VI termasuk dalam kategori *Maximal Sun*

Protection Product (proteksi maksimal), sedangkan untuk formula III termasuk dalam kategori *Ultra Sun Protection Product* (proteksi ultra). Selanjutnya formula yang berada dalam kategori proteksi maksimum diuji dengan statistik ANOVA untuk mengetahui adanya perbedaan nilai SPF yang bermakna antar formula. Dari hasil uji statistik diperoleh $F_{hitung} = 160,666$ lebih besar dari $F_{tabel} = 3,48$. Berarti ada perbedaan SPF yang bermakna antar formula minimal satu pasang. Untuk mengetahui formula mana yang berbeda, dilanjutkan dengan uji HSD. Dari hasil uji HSD diketahui formula yang berbeda bermakna adalah formula I dengan formula II, IV dan VI sedangkan untuk formula I dan V tidak ada perbedaan bermakna. Dengan demikian dapat disimpulkan bahwa dalam satu kategori perlindungan maksimal formula yang paling baik adalah formula VI. Secara keseluruhan semua formula memiliki nilai SPF lebih tinggi dibandingkan formula yang hanya mengandung oksibenson dan lebih rendah dari nilai SPF formula yang mengandung oktil dimetil PABA. Akan tetapi formula yang mengandung oktil dimetil PABA hanya mampu memberi perlindungan terhadap radiasi UV-B sehingga tetap kurang efektif. secara keseluruhan formula yang paling baik adalah formula III karena termasuk kategori perlindungan ultra dengan nilai SPF 15,30

Untuk meningkatkan nilai SPF sediaan menjadi lebih besar dari 15 maka perlu dilakukan kombinasi dengan bahan tabir surya yang lain misalnya pengeblok fisik.

BAB V

KESIMPULAN DAN SARAN

5.1 Kesimpulan

Dari hasil penelitian yang sudah dilakukan dapat disimpulkan bahwa :

- 1) a. Sediaan tabir surya dengan kombinasi oksibenson (3 dan 4 % b/b) dan oktil dimetil PABA (3, 5, dan 7 % b/b) dapat meningkatkan efektifitas tabir surya dibandingkan sediaan yang hanya mengandung satu macam bahan aktif.
b. Formula I, II, IV, V dan VI memiliki kategori perlindungan maksimal, sedangkan formula III memiliki kategori perlindungan ultra
- 2). Formula III (oksibenson : oktil dimetil PABA = 3:7) merupakan komposisi paling optimum dengan SPF = 15,30

5.2 Saran

Berdasarkan penelitian yang telah dilakukan dapat disarankan:

Untuk mendapatkan sediaan tabir matahari dengan perlindungan ultra dapat digunakan sediaan yang mengandung bahan aktif oksibenson dan oktil dimetil PABA kombinasi 3 : 7 dengan nilai SPF = 15,30.

DAFTAR PUSTAKA

- Ansel HC, 1989, **Pengantar Bentuk Sediaan Farmasi.** Edisi keempat (Terjemahan), Jakarta: Universitas Indonesia Press.
- Anonim, 2000, **SunProtection.**
<http://www.photodermatology.com/sunprotection.htm>
- Cumpelik, BM., 1972, **Analytical Procedures and Evaluation of Sunscreen.** Journal of The Society of Cosmetic Chemists.
- Departemem Kesehatan Republik Indonesia., 1985, **Formularium Kosmetika Indonesia**, Jakarta: Direktorat Jenderal Pengawasan Obat dan Makanan.
- Gunn C, Curter SJ, 1975, **Cooper and Gunn's Dispensing for Pharmaceutical Student**, 21th ed, London : Pitman Medical
- Harry RG., 1982, **Harry's Cosmeticology : The Principles and Practice of Modern Cosmetic**, 7th ed. London : Leonard Hill Book
- Idson,B. and Lazarus, J., 1986, Semisolids in : Lachman,L., Leiberman,H.A, Kainy,J.L, **The Theory and Practice of Industrial Pharmacy**, Third Edition, Lea & Febiger, Philadelphia.
- Jellinek JS., 1970, **Formulation and Function of Cosmetic**, Translated from The German by GL Penton, New York : John Wiley and Sons, Inc
- Kreps SI, Goldenberg, 1972, "Suntan Preparation" in : Balsam, MS., Sagarin, E (Eds). **Cosmetics, Science and Technology**. 2nd ed, Vol 1, New York : John Wiley & Sons, Inc
- Lachman I., Liebermann A., 1970, **The Theory and Practice of Industrial Pharmacy**. Philadelphia : Lea & Febiger
- Lowe NJ & Shaath NA, 1990, **Sunscreen Development, Evaluation and Regulatory Aspects**, New York : Marcel Dekker
- Martin W. Eric. 1960, **Husa's Pharmaceutical Dispensing**, Fifth Ed, Pensylvania : Mac Publishing Company, Easton
- Petro AJ, 1981, **Correlation of Spectrophotometric data with Sunscreen Protection Factor**, International Journal of Cosmetic Science
- Reynolds JEF, 1993, Martindale, **The Extra Pharmacopoeia**, 30th ed London, Pharmaceutical Press

Scovill's, 1957, **The Art of Compounding**, New York :Mc Grow Hill book Company, Inc,

Shaath NA., 1986, **The Chemistry of Sunscreen in Cosmetic and Toiletries**, New York : Felton International

Senzel AJ, 1977, **New Burger's manual of Cosmetics Analysis**, 2nd ed. Washington DC : Association of Official Analytical Chemistry Inc

Setianingrum E, 1992, "Studi Efektifitas in vivo Bahan Tabir Matahari Oktil Metoksisinamat (anti UV-B) dan Oksibenson (anti UV-A) yang diformulasi dalam *vanishing cream*. Skripsi. Surabaya : Fakultas Farmasi Universitas Airlangga

Stanley B L, 2001, UV Filters. In : Barel, AO., Paye, M and Maibach, HI (Eds). **Handbook of Cosmetic Science and Technology**. New York : Marcel Dekker, Inc., hal 451-461

Sterling G B., 1992, **Sunscreen : A Review**, Cutis. Vol 50 September

Wade A and Weller P. J., 1994, **Handbook of Pharmaceutical Excipients**. 2nd, London : The Pharmaceutical Press

Wasitaatmadja SM., 1997, **Penuntun Ilmu Kosmetik Medik**. Jakarta : Universitas Indonesia Press

Widianingsih, N. P. S. dan Lumintang H., 2002, Pemakaian Tabir Surya (*Sunscreen*). Berkala Kedokteran Ilmu Penyakit Kulit dan Kelamin, Vol 14 No. 2 Agustus 2002, hal 155-167

LAMPIRAN

Tabel 1. Perhitungan Nilai SPF (*Sun Protection Factor*) sediaan tabir surya dengan bahan aktif kombinasi oksibenzon dan oktil dimetil PABA (3:3)

| λ (nm) | Absorbansi (R1) | | | | Absorbansi (R2) | | | | Absorbansi (R3) | | | |
|-------------------|-----------------|-------|-----------|-------|-----------------|-------|-----------|-------|-----------------|-------|-----------|---------|
| | A0 | A1 | 10 ppm | AUC | A0 | A1 | 10 ppm | AUC | A0 | A1 | 10 ppm | AUC |
| 290 | 1,215 | 0,304 | 0,675 | - | 1,122 | 0,281 | 0,629 | - | 1,186 | 0,297 | 0,643 | - |
| 292 | 1,232 | 0,308 | 0,684 | 1,359 | 1,146 | 0,287 | 0,642 | 1,271 | 1,208 | 0,302 | 0,654 | 1,297 |
| 294 | 1,249 | 0,312 | 0,692 | 1,376 | 1,159 | 0,290 | 0,649 | 1,291 | 1,215 | 0,304 | 0,658 | 1,312 |
| 296 | 1,264 | 0,316 | 0,701 | 1,393 | 1,176 | 0,294 | 0,658 | 1,307 | 1,237 | 0,309 | 0,669 | 1,327 |
| 298 | 1,275 | 0,319 | 0,708 | 1,409 | 1,202 | 0,301 | 0,673 | 1,331 | 1,257 | 0,314 | 0,680 | 1,349 |
| 300 | 1,301 | 0,325 | 0,721 | 1,429 | 1,219 | 0,305 | 0,682 | 1,355 | 1,279 | 0,320 | 0,693 | 1,373 |
| 302 | 1,326 | 0,332 | 0,737 | 1,458 | 1,252 | 0,313 | 0,700 | 1,382 | 1,304 | 0,326 | 0,706 | 1,399 |
| 304 | 1,357 | 0,339 | 0,752 | 1,489 | 1,289 | 0,322 | 0,720 | 1,420 | 1,332 | 0,333 | 0,721 | 1,437 |
| 306 | 1,373 | 0,343 | 0,761 | 1,513 | 1,300 | 0,325 | 0,727 | 1,447 | 1,355 | 0,339 | 0,734 | 1,455 |
| 308 | 1,393 | 0,348 | 0,772 | 1,533 | 1,319 | 0,330 | 0,738 | 1,465 | 1,374 | 0,344 | 0,745 | 1,479 |
| 310 | 1,403 | 0,351 | 0,779 | 1,551 | 1,329 | 0,332 | 0,743 | 1,481 | 1,380 | 0,345 | 0,747 | 1,492 |
| 312 | 1,394 | 0,349 | 0,775 | 1,554 | 1,323 | 0,331 | 0,740 | 1,483 | 1,381 | 0,340 | 0,736 | 1,483 |
| 314 | 1,337 | 0,334 | 0,741 | 1,516 | 1,278 | 0,320 | 0,716 | 1,458 | 1,330 | 0,333 | 0,721 | 1,457 |
| 316 | 1,295 | 0,324 | 0,719 | 1,460 | 1,229 | 0,307 | 0,687 | 1,403 | 1,267 | 0,317 | 0,686 | 1,407 |
| 318 | 1,217 | 0,304 | 0,675 | 1,394 | 1,142 | 0,286 | 0,640 | 1,327 | 1,188 | 0,297 | 0,643 | 1,329 |
| 320 | 1,114 | 0,279 | 0,619 | 1,294 | 1,052 | 0,263 | 0,588 | 1,228 | 1,097 | 0,274 | 0,593 | 1,236 |
| 322 | 1,002 | 0,251 | 0,557 | 1,176 | 0,941 | 0,235 | 0,526 | 1,114 | 0,978 | 0,245 | 0,530 | 1,123 |
| 324 | 0,881 | 0,220 | 0,488 | 1,045 | 0,825 | 0,206 | 0,481 | 0,987 | 0,863 | 0,216 | 0,468 | 0,998 |
| 326 | 0,766 | 0,192 | 0,426 | 0,914 | 0,715 | 0,179 | 0,400 | 0,861 | 0,750 | 0,188 | 0,407 | 0,875 |
| 328 | 0,659 | 0,165 | 0,368 | 0,792 | 0,609 | 0,152 | 0,340 | 0,740 | 0,645 | 0,181 | 0,348 | 0,755 |
| 330 | 0,574 | 0,144 | 0,320 | 0,686 | 0,526 | 0,132 | 0,295 | 0,635 | 0,563 | 0,141 | 0,305 | 0,663 |
| 332 | 0,505 | 0,128 | 0,280 | 0,600 | 0,461 | 0,115 | 0,257 | 0,552 | 0,493 | 0,123 | 0,286 | 0,571 |
| 334 | 0,448 | 0,112 | 0,249 | 0,529 | 0,407 | 0,102 | 0,228 | 0,485 | 0,439 | 0,110 | 0,238 | 0,504 |
| 336 | 0,407 | 0,102 | 0,226 | 0,475 | 0,368 | 0,092 | 0,206 | 0,434 | 0,398 | 0,100 | 0,216 | 0,454 |
| 338 | 0,371 | 0,093 | 0,208 | 0,432 | 0,334 | 0,084 | 0,188 | 0,394 | 0,384 | 0,091 | 0,197 | 0,413 |
| 340 | 0,346 | 0,087 | 0,193 | 0,399 | 0,310 | 0,078 | 0,174 | 0,362 | 0,337 | 0,084 | 0,182 | 0,379 |
| 342 | 0,310 | 0,078 | 0,173 | 0,368 | 0,227 | 0,069 | 0,154 | 0,326 | 0,303 | 0,076 | 0,165 | 0,347 |
| 344 | 0,282 | 0,071 | 0,158 | 0,331 | 0,252 | 0,063 | 0,141 | 0,295 | 0,274 | 0,069 | 0,149 | 0,314 |
| 346 | 0,256 | 0,064 | 0,142 | 0,300 | 0,227 | 0,057 | 0,128 | 0,269 | 0,248 | 0,062 | 0,134 | 0,283 |
| 348 | 0,227 | 0,058 | 0,129 | 0,271 | 0,202 | 0,051 | 0,114 | 0,242 | 0,221 | 0,056 | 0,121 | 0,255 |
| 350 | 0,200 | 0,050 | 0,111 | 0,240 | | | | | | | | |
| AUC Total | | | 29,441 | | | | 28,343 | | | | | 28,756 |
| Log SPF | | | 0,98135 | | | | 0,97734 | | | | | 0,99159 |
| SPF | | | 9,58 | | | | 9,49 | | | | | 9,81 |

Tabel 2. Perhitungan Nilai SPF (*Sun Protection Factor*) sediaan tabir surya dengan bahan aktif kombinasi oksibenzen dan oktil dimetil PABA (3:5)

| λ nm | Absorbansi (R1) | | | | Absorbansi (R2) | | | | Absorbansi (R3) | | | |
|-----------|-----------------|-------|-----------|-------|-----------------|-------|-----------|-------|-----------------|-------|-----------|---------|
| | Ao | A1 | 10 ppm | AUC | Ao | A1 | 10 ppm | AUC | Ao | A1 | 10 ppm | AUC |
| 290 | 1,521 | 0,380 | 0,633 | - | 1,541 | 0,379 | 0,632 | - | 1,541 | 0,385 | 0,642 | - |
| 292 | 1,561 | 0,390 | 0,650 | 1,283 | 1,569 | 0,392 | 0,653 | 1,285 | 1,594 | 0,399 | 0,665 | 1,307 |
| 294 | 1,608 | 0,402 | 0,670 | 1,320 | 1,613 | 0,403 | 0,672 | 1,325 | 1,653 | 0,413 | 0,688 | 1,353 |
| 296 | 1,669 | 0,417 | 0,695 | 1,365 | 1,673 | 0,418 | 0,697 | 1,369 | 1,701 | 0,425 | 0,708 | 1,398 |
| 298 | 1,739 | 0,435 | 0,725 | 1,420 | 1,724 | 0,431 | 0,718 | 1,415 | 1,760 | 0,440 | 0,733 | 1,441 |
| 300 | 1,786 | 0,447 | 0,745 | 1,470 | 1,777 | 0,444 | 0,740 | 1,458 | 1,810 | 0,453 | 0,755 | 1,448 |
| 302 | 1,858 | 0,465 | 0,775 | 1,520 | 1,841 | 0,460 | 0,767 | 1,507 | 1,894 | 0,474 | 0,79 | 1,545 |
| 304 | 1,896 | 0,474 | 0,790 | 1,565 | 1,905 | 0,478 | 0,793 | 1,560 | 1,958 | 0,490 | 0,817 | 1,607 |
| 306 | 1,965 | 0,491 | 0,818 | 1,608 | 1,952 | 0,488 | 0,813 | 1,608 | 2,013 | 0,503 | 0,838 | 1,655 |
| 308 | 2,055 | 0,514 | 0,857 | 1,675 | 2,031 | 0,508 | 0,847 | 1,660 | 2,027 | 0,507 | 0,845 | 1,683 |
| 310 | 1,982 | 0,498 | 0,827 | 1,684 | 2,044 | 0,511 | 0,852 | 1,699 | 2,100 | 0,525 | 0,875 | 1,720 |
| 312 | 2,015 | 0,504 | 0,840 | 1,667 | 2,038 | 0,510 | 0,850 | 1,702 | 2,008 | 0,502 | 0,837 | 1,712 |
| 314 | 1,939 | 0,485 | 0,808 | 1,648 | 1,931 | 0,483 | 0,805 | 1,655 | 1,939 | 0,435 | 0,808 | 1,645 |
| 316 | 1,843 | 0,461 | 0,768 | 1,576 | 1,811 | 0,453 | 0,755 | 1,560 | 1,857 | 0,404 | 0,673 | 1,481 |
| 318 | 1,693 | 0,423 | 0,705 | 1,473 | 1,681 | 0,420 | 0,700 | 1,455 | 1,666 | 0,417 | 0,695 | 1,368 |
| 320 | 1,529 | 0,382 | 0,637 | 1,342 | 1,521 | 0,380 | 0,633 | 1,333 | 1,536 | 0,384 | 0,640 | 1,335 |
| 322 | 1,333 | 0,333 | 0,555 | 1,192 | 1,332 | 0,333 | 0,555 | 1,188 | 1,340 | 0,335 | 0,558 | 1,198 |
| 324 | 1,148 | 0,287 | 0,478 | 1,033 | 1,142 | 0,286 | 0,477 | 1,032 | 1,149 | 0,287 | 0,478 | 1,038 |
| 326 | 0,961 | 0,240 | 0,400 | 0,878 | 0,957 | 0,239 | 0,398 | 0,875 | 0,971 | 0,243 | 0,405 | 0,883 |
| 328 | 0,800 | 0,200 | 0,333 | 0,733 | 0,794 | 0,199 | 0,332 | 0,730 | 0,801 | 0,200 | 0,333 | 0,738 |
| 330 | 0,662 | 0,166 | 0,277 | 0,610 | 0,662 | 0,166 | 0,277 | 0,609 | 0,663 | 0,166 | 0,277 | 0,610 |
| 332 | 0,558 | 0,140 | 0,233 | 0,510 | 0,558 | 0,139 | 0,232 | 0,509 | 0,560 | 0,140 | 0,233 | 0,510 |
| 334 | 0,477 | 0,119 | 0,198 | 0,431 | 0,477 | 0,119 | 0,198 | 0,430 | 0,481 | 0,120 | 0,200 | 0,433 |
| 336 | 0,416 | 0,104 | 0,173 | 0,371 | 0,417 | 0,104 | 0,173 | 0,371 | 0,423 | 0,106 | 0,177 | 0,377 |
| 338 | 0,373 | 0,093 | 0,155 | 0,328 | 0,372 | 0,093 | 0,155 | 0,328 | 0,377 | 0,094 | 0,157 | 0,334 |
| 340 | 0,338 | 0,085 | 0,142 | 0,297 | 0,337 | 0,084 | 0,140 | 0,295 | 0,346 | 0,087 | 0,145 | 0,302 |
| 342 | 0,300 | 0,075 | 0,125 | 0,269 | 0,300 | 0,075 | 0,125 | 0,285 | 0,308 | 0,077 | 0,128 | 0,273 |
| 344 | 0,271 | 0,068 | 0,113 | 0,238 | 0,271 | 0,068 | 0,113 | 0,238 | 0,278 | 0,070 | 0,117 | 0,245 |
| 346 | 0,243 | 0,061 | 0,102 | 0,215 | 0,242 | 0,061 | 0,102 | 0,215 | 0,250 | 0,063 | 0,105 | 0,222 |
| 348 | 0,215 | 0,054 | 0,090 | 0,192 | 0,214 | 0,054 | 0,090 | 0,192 | 0,223 | 0,056 | 0,093 | 0,198 |
| 350 | | | | | | | | | | | | |
| AUC Total | | | 29,913 | | | | 29,868 | | | | | 30,095 |
| Log SPF | | | 1,03148 | | | | 1,02968 | | | | | 1,03776 |
| SPF | | | 10,75 | | | | 10,71 | | | | | 10,91 |

Tabel 3. Perhitungan Nilai SPF (Sun Protection Factor) sediaan tabir surya dengan bahan aktif kombinasi oksibenson dan oktil dimetil PABA (3:7)

| λ, nm | Absorbansi (R1) | | | | Absorbansi (R2) | | | | Absorbansi (R3) | | | |
|-----------|-----------------|-------|-----------|--------|-----------------|-------|-----------|--------|-----------------|-------|-----------|--------|
| | A0 | A1 | 10 ppm | AUC | A0 | A1 | 10 ppm | AUC | A0 | A1 | 10 ppm | AUC |
| 290 | 1,919 | 0,480 | 0,686 | - | 1,984 | 0,496 | 0,689 | - | 1,918 | 0,450 | 0,643 | - |
| 292 | 2,001 | 0,500 | 0,714 | 1,400 | 2,064 | 0,516 | 0,717 | 1,408 | 2,057 | 0,514 | 0,734 | 1,377 |
| 294 | 2,111 | 0,528 | 0,754 | 1,468 | 2,123 | 0,531 | 0,738 | 1,455 | 2,109 | 0,527 | 0,753 | 1,487 |
| 296 | 2,263 | 0,566 | 0,809 | 1,563 | 2,262 | 0,566 | 0,786 | 1,524 | 2,163 | 0,541 | 0,773 | 1,526 |
| 298 | 2,305 | 0,576 | 0,823 | 1,632 | 2,355 | 0,589 | 0,818 | 1,604 | 2,245 | 0,581 | 0,801 | 1,574 |
| 300 | 2,464 | 0,616 | 0,880 | 1,703 | 2,490 | 0,623 | 0,885 | 1,683 | 2,503 | 0,626 | 0,894 | 1,695 |
| 302 | 2,473 | 0,618 | 0,883 | 1,763 | 2,520 | 0,630 | 0,875 | 1,740 | 2,473 | 0,618 | 0,883 | 1,777 |
| 304 | 2,594 | 0,649 | 0,927 | 1,810 | 2,805 | 0,701 | 0,974 | 1,849 | 2,460 | 0,615 | 0,879 | 1,782 |
| 306 | 2,669 | 0,667 | 0,953 | 1,880 | 2,793 | 0,698 | 0,969 | 1,943 | 2,689 | 0,667 | 0,953 | 1,832 |
| 308 | 2,690 | 0,673 | 0,961 | 1,914 | 3,260 | 0,815 | 1,132 | 2,101 | 3,377 | 0,844 | 1,206 | 2,159 |
| 310 | 3,737 | 0,934 | 1,334 | 2,295 | 3,737 | 0,934 | 1,297 | 2,429 | 3,737 | 0,934 | 1,334 | 2,540 |
| 312 | 2,818 | 0,705 | 1,007 | 2,341 | 2,761 | 0,690 | 0,958 | 2,255 | 2,759 | 0,690 | 0,886 | 2,320 |
| 314 | 2,680 | 0,670 | 0,957 | 1,964 | 2,751 | 0,688 | 0,956 | 1,914 | 2,695 | 0,674 | 0,963 | 1,949 |
| 316 | 2,429 | 0,807 | 0,867 | 1,824 | 2,617 | 0,654 | 0,908 | 1,864 | 2,486 | 0,622 | 0,889 | 1,852 |
| 318 | 2,289 | 0,572 | 0,817 | 1,684 | 2,433 | 0,608 | 0,844 | 1,752 | 2,231 | 0,558 | 0,797 | 1,686 |
| 320 | 2,201 | 0,505 | 0,721 | 1,538 | 2,043 | 0,511 | 0,710 | 1,554 | 1,937 | 0,493 | 0,704 | 1,501 |
| 322 | 1,735 | 0,434 | 0,620 | 1,341 | 1,733 | 0,433 | 0,601 | 1,311 | 1,728 | 0,432 | 0,617 | 1,321 |
| 324 | 1,468 | 0,367 | 0,524 | 1,144 | 1,451 | 0,363 | 0,504 | 1,105 | 1,450 | 0,363 | 0,519 | 1,136 |
| 326 | 1,199 | 0,300 | 0,429 | 0,953 | 1,186 | 0,297 | 0,413 | 0,917 | 1,196 | 0,299 | 0,427 | 0,946 |
| 328 | 0,966 | 0,242 | 0,346 | 0,775 | 0,984 | 0,241 | 0,335 | 0,748 | 0,969 | 0,242 | 0,346 | 0,773 |
| 330 | 0,781 | 0,195 | 0,279 | 0,625 | 0,775 | 0,194 | 0,289 | 0,604 | 0,782 | 0,196 | 0,280 | 0,626 |
| 332 | 0,635 | 0,159 | 0,227 | 0,508 | 0,627 | 0,157 | 0,218 | 0,487 | 0,637 | 0,159 | 0,227 | 0,507 |
| 334 | 0,529 | 0,132 | 0,189 | 0,416 | 0,523 | 0,131 | 0,182 | 0,400 | 0,530 | 0,133 | 0,190 | 0,417 |
| 336 | 0,451 | 0,113 | 0,161 | 0,350 | 0,448 | 0,112 | 0,156 | 0,338 | 0,453 | 0,113 | 0,161 | 0,351 |
| 338 | 0,393 | 0,098 | 0,140 | 0,301 | 0,391 | 0,098 | 0,136 | 0,292 | 0,394 | 0,098 | 0,141 | 0,302 |
| 340 | 0,353 | 0,088 | 0,126 | 0,266 | 0,356 | 0,089 | 0,124 | 0,260 | 0,353 | 0,088 | 0,126 | 0,267 |
| 342 | 0,310 | 0,078 | 0,111 | 0,237 | 0,310 | 0,078 | 0,108 | 0,232 | 0,310 | 0,078 | 0,111 | 0,237 |
| 344 | 0,278 | 0,070 | 0,100 | 0,211 | 0,278 | 0,070 | 0,097 | 0,205 | 0,279 | 0,070 | 0,100 | 0,211 |
| 346 | 0,247 | 0,062 | 0,089 | 0,189 | 0,249 | 0,062 | 0,086 | 0,183 | 0,249 | 0,062 | 0,089 | 0,189 |
| 348 | 0,219 | 0,055 | 0,079 | 0,168 | 0,221 | 0,055 | 0,076 | 0,162 | 0,219 | 0,055 | 0,079 | 0,168 |
| 350 | | | | | | | | | | | | |
| AUC Total | | | | 34,261 | | | | 34,317 | | | | 34,488 |
| Log SPF | | | | 1,1814 | | | | 1,1833 | | | | 1,1882 |
| SPF | | | | 15,18 | | | | 15,25 | | | | 15,43 |

Tabel 4. Perhitungan Nilai SPF (*Sun Protection Factor*) sediaan tabir surya dengan bahan aktif kombinasi oksibenson dan oktil dimetil PABA (4:3)

| λ (nm) | Absorbansi (RI) | | | | Absorbansi (RI) | | | | Absorbansi (RI) | | | |
|-------------------|-----------------|-------|-----------|--------|-----------------|-------|-----------|---------|-----------------|-------|-----------|---------|
| | A0 | A1 | 10 ppm | AUC | A0 | A1 | 10 ppm | AUC | A0 | A1 | 10 ppm | AUC |
| 290 | 1,407 | 0,352 | 0,667 | - | 1,345 | 0,336 | 0,637 | - | 1,207 | 0,302 | 0,575 | - |
| 292 | 1,420 | 0,355 | 0,673 | 1,340 | 1,351 | 0,338 | 0,641 | 1,278 | 1,218 | 0,305 | 0,581 | 1,156 |
| 294 | 1,423 | 0,356 | 0,674 | 1,347 | 1,362 | 0,341 | 0,647 | 1,288 | 1,205 | 0,301 | 0,573 | 1,154 |
| 296 | 1,429 | 0,357 | 0,676 | 1,350 | 1,362 | 0,341 | 0,647 | 1,294 | 1,202 | 0,301 | 0,573 | 1,146 |
| 298 | 1,438 | 0,360 | 0,682 | 1,358 | 1,376 | 0,344 | 0,653 | 1,300 | 1,207 | 0,302 | 0,575 | 1,148 |
| 300 | 1,455 | 0,364 | 0,690 | 1,372 | 1,388 | 0,347 | 0,658 | 1,311 | 1,211 | 0,303 | 0,577 | 1,152 |
| 302 | 1,475 | 0,369 | 0,699 | 1,389 | 1,405 | 0,351 | 0,666 | 1,324 | 1,228 | 0,307 | 0,585 | 1,162 |
| 304 | 1,498 | 0,375 | 0,710 | 1,409 | 1,429 | 0,357 | 0,677 | 1,343 | 1,247 | 0,312 | 0,594 | 1,179 |
| 306 | 1,521 | 0,380 | 0,720 | 1,430 | 1,463 | 0,366 | 0,694 | 1,371 | 1,259 | 0,315 | 0,600 | 1,194 |
| 308 | 1,534 | 0,384 | 0,728 | 1,448 | 1,481 | 0,370 | 0,702 | 1,398 | 1,268 | 0,317 | 0,604 | 1,204 |
| 310 | 1,544 | 0,386 | 0,731 | 1,459 | 1,478 | 0,369 | 0,700 | 1,402 | 1,270 | 0,318 | 0,606 | 1,210 |
| 312 | 1,538 | 0,385 | 0,729 | 1,460 | 1,453 | 0,363 | 0,689 | 1,389 | 1,263 | 0,316 | 0,602 | 1,200 |
| 314 | 1,480 | 0,370 | 0,701 | 1,430 | 1,436 | 0,359 | 0,681 | 1,370 | 1,236 | 0,309 | 0,589 | 1,191 |
| 316 | 1,427 | 0,357 | 0,676 | 1,377 | 1,372 | 0,343 | 0,651 | 1,332 | 1,182 | 0,296 | 0,564 | 1,153 |
| 318 | 1,348 | 0,337 | 0,638 | 1,314 | 1,281 | 0,320 | 0,607 | 1,258 | 1,130 | 0,283 | 0,539 | 1,103 |
| 320 | 1,257 | 0,314 | 0,595 | 1,233 | 1,190 | 0,300 | 0,569 | 1,176 | 1,048 | 0,262 | 0,499 | 1,038 |
| 322 | 1,136 | 0,284 | 0,538 | 1,133 | 1,083 | 0,271 | 0,514 | 1,083 | 0,954 | 0,241 | 0,459 | 0,958 |
| 324 | 1,020 | 0,255 | 0,483 | 1,021 | 0,968 | 0,242 | 0,459 | 0,973 | 0,868 | 0,217 | 0,413 | 0,872 |
| 326 | 0,908 | 0,227 | 0,430 | 0,931 | 0,853 | 0,213 | 0,404 | 0,863 | 0,777 | 0,194 | 0,369 | 0,782 |
| 328 | 0,796 | 0,199 | 0,377 | 0,807 | 0,750 | 0,188 | 0,357 | 0,761 | 0,688 | 0,172 | 0,328 | 0,697 |
| 330 | 0,708 | 0,177 | 0,335 | 0,712 | 0,665 | 0,168 | 0,315 | 0,672 | 0,619 | 0,155 | 0,295 | 0,623 |
| 332 | 0,633 | 0,158 | 0,299 | 0,634 | 0,596 | 0,149 | 0,283 | 0,598 | 0,559 | 0,140 | 0,267 | 0,562 |
| 334 | 0,576 | 0,144 | 0,273 | 0,572 | 0,539 | 0,135 | 0,256 | 0,539 | 0,508 | 0,127 | 0,242 | 0,509 |
| 336 | 0,527 | 0,132 | 0,250 | 0,523 | 0,495 | 0,149 | 0,283 | 0,539 | 0,473 | 0,118 | 0,225 | 0,467 |
| 338 | 0,488 | 0,122 | 0,231 | 0,481 | 0,456 | 0,114 | 0,216 | 0,499 | 0,434 | 0,109 | 0,208 | 0,433 |
| 340 | 0,456 | 0,115 | 0,218 | 0,449 | 0,427 | 0,107 | 0,203 | 0,419 | 0,409 | 0,102 | 0,194 | 0,402 |
| 342 | 0,412 | 0,103 | 0,195 | 0,413 | 0,384 | 0,096 | 0,182 | 0,385 | 0,369 | 0,092 | 0,175 | 0,389 |
| 344 | 0,374 | 0,094 | 0,178 | 0,373 | 0,350 | 0,088 | 0,167 | 0,349 | 0,335 | 0,084 | 0,160 | 0,335 |
| 346 | 0,341 | 0,085 | 0,161 | 0,339 | 0,316 | 0,079 | 0,150 | 0,317 | 0,303 | 0,076 | 0,145 | 0,305 |
| 348 | 0,303 | 0,076 | 0,144 | 0,305 | 0,284 | 0,071 | 0,135 | 0,285 | 0,271 | 0,068 | 0,130 | 0,275 |
| 350 | 0,267 | 0,067 | 0,127 | 0,271 | 0,249 | 0,062 | 0,118 | 0,253 | 0,238 | 0,060 | 0,114 | 0,244 |
| 352 | 0,234 | 0,059 | 0,112 | 0,239 | 0,218 | 0,055 | 0,104 | 0,222 | 0,207 | 0,052 | 0,099 | 0,213 |
| 354 | 0,203 | 0,051 | 0,097 | 0,209 | | | | | | | | |
| AUC total | | | | 30,128 | | | | 28,589 | | | | 28,175 |
| Log SPF | | | | 0,9415 | | | | 0,92223 | | | | 0,90887 |
| SPF | | | | 8,74 | | | | 8,36 | | | | 8,11 |

Tabel 5. Perhitungan Nilai SPF (*Sun Protection Factor*) sediaan tabir surya dengan bahan aktif kombinasi oksibenzen dan oktil dimetil PABA (4:5)

| λ (nm) | Absorbansi (R1) | | | | Absorbansi (R1) | | | | Absorbansi (R1) | | | |
|-----------|-----------------|-------|--------|--------|-----------------|-------|--------|---------|-----------------|-------|--------|--------|
| | A0 | A1 | 10 ppm | AUC | A0 | A1 | 10 ppm | AUC | A0 | A1 | 10 ppm | AUC |
| 290 | 1,729 | 0,432 | 0,639 | - | 1,751 | 0,438 | 0,649 | - | 1,585 | 0,396 | 0,620 | - |
| 292 | 1,782 | 0,446 | 0,659 | 1,298 | 1,793 | 0,448 | 0,664 | 1,313 | 1,633 | 0,408 | 0,638 | 1,258 |
| 294 | 1,807 | 0,452 | 0,668 | 1,327 | 1,848 | 0,462 | 0,684 | 1,348 | 1,654 | 0,414 | 0,648 | 1,286 |
| 296 | 1,842 | 0,461 | 0,682 | 1,350 | 1,881 | 0,470 | 0,696 | 1,380 | 1,686 | 0,422 | 0,660 | 1,308 |
| 298 | 1,930 | 0,483 | 0,714 | 1,396 | 1,880 | 0,470 | 0,696 | 1,392 | 1,754 | 0,439 | 0,687 | 1,347 |
| 300 | 1,959 | 0,490 | 0,724 | 1,438 | 1,940 | 0,485 | 0,719 | 1,415 | 1,797 | 0,449 | 0,703 | 1,390 |
| 302 | 2,024 | 0,506 | 0,748 | 1,472 | 2,024 | 0,508 | 0,750 | 1,469 | 1,845 | 0,461 | 0,721 | 1,424 |
| 304 | 2,064 | 0,516 | 0,763 | 1,511 | 2,050 | 0,513 | 0,760 | 1,510 | 1,900 | 0,475 | 0,743 | 1,464 |
| 306 | 2,093 | 0,523 | 0,773 | 1,536 | 2,094 | 0,524 | 0,776 | 1,536 | 1,919 | 0,480 | 0,751 | 1,494 |
| 308 | 2,180 | 0,545 | 0,806 | 1,579 | 2,181 | 0,545 | 0,807 | 1,583 | 1,928 | 0,482 | 0,754 | 1,505 |
| 310 | 2,152 | 0,538 | 0,795 | 1,601 | 2,134 | 0,534 | 0,791 | 1,598 | 1,925 | 0,481 | 0,753 | 1,507 |
| 312 | 2,159 | 0,540 | 0,798 | 1,593 | 2,159 | 0,540 | 0,800 | 1,591 | 1,927 | 0,482 | 0,754 | 1,505 |
| 314 | 2,041 | 0,510 | 0,754 | 1,552 | 2,053 | 0,513 | 0,760 | 1,560 | 1,877 | 0,469 | 0,734 | 1,468 |
| 316 | 1,954 | 0,489 | 0,723 | 1,477 | 1,965 | 0,491 | 0,727 | 1,487 | 1,806 | 0,452 | 0,707 | 1,441 |
| 318 | 1,831 | 0,458 | 0,677 | 1,400 | 1,813 | 0,453 | 0,671 | 1,398 | 1,680 | 0,420 | 0,657 | 1,364 |
| 320 | 1,641 | 0,410 | 0,606 | 1,283 | 1,666 | 0,417 | 0,618 | 1,269 | 1,506 | 0,377 | 0,574 | 1,231 |
| 322 | 1,448 | 0,362 | 0,535 | 1,141 | 1,463 | 0,366 | 0,542 | 1,180 | 1,351 | 0,338 | 0,529 | 1,103 |
| 324 | 1,260 | 0,315 | 0,466 | 1,001 | 1,271 | 0,318 | 0,471 | 1,013 | 1,174 | 0,294 | 0,460 | 0,989 |
| 326 | 1,077 | 0,270 | 0,399 | 0,885 | 1,095 | 0,274 | 0,406 | 0,877 | 1,003 | 0,251 | 0,393 | 0,853 |
| 328 | 0,913 | 0,228 | 0,337 | 0,736 | 0,926 | 0,232 | 0,344 | 0,750 | 0,850 | 0,213 | 0,333 | 0,726 |
| 330 | 0,773 | 0,193 | 0,285 | 0,622 | 0,790 | 0,198 | 0,293 | 0,647 | 0,729 | 0,182 | 0,285 | 0,618 |
| 332 | 0,670 | 0,168 | 0,248 | 0,533 | 0,685 | 0,171 | 0,253 | 0,546 | 0,626 | 0,157 | 0,246 | 0,531 |
| 334 | 0,587 | 0,148 | 0,219 | 0,467 | 0,600 | 0,150 | 0,222 | 0,475 | 0,552 | 0,138 | 0,216 | 0,462 |
| 336 | 0,528 | 0,132 | 0,195 | 0,414 | 0,538 | 0,135 | 0,200 | 0,422 | 0,496 | 0,124 | 0,194 | 0,410 |
| 338 | 0,476 | 0,119 | 0,176 | 0,371 | 0,487 | 0,122 | 0,181 | 0,381 | 0,450 | 0,113 | 0,177 | 0,371 |
| 340 | 0,441 | 0,110 | 0,163 | 0,339 | 0,451 | 0,113 | 0,167 | 0,348 | 0,415 | 0,104 | 0,163 | 0,340 |
| 342 | 0,394 | 0,099 | 0,146 | 0,309 | 0,404 | 0,101 | 0,150 | 0,317 | 0,371 | 0,093 | 0,146 | 0,309 |
| 344 | 0,356 | 0,089 | 0,132 | 0,278 | 0,385 | 0,091 | 0,135 | 0,285 | 0,333 | 0,083 | 0,130 | 0,276 |
| 346 | 0,319 | 0,080 | 0,118 | 0,250 | 0,327 | 0,082 | 0,121 | 0,256 | 0,302 | 0,076 | 0,119 | 0,249 |
| 348 | 0,284 | 0,071 | 0,105 | 0,223 | 0,292 | 0,073 | 0,108 | 0,229 | 0,267 | 0,067 | 0,105 | 0,224 |
| 350 | 0,250 | 0,063 | 0,093 | 0,198 | 0,257 | 0,064 | 0,095 | 0,203 | 0,236 | 0,059 | 0,092 | 0,197 |
| 352 | 0,217 | 0,054 | 0,080 | 0,173 | 0,223 | 0,056 | 0,083 | 0,178 | | | | |
| AUC Total | | | | 29,733 | | | | 29,956 | | | | 28,672 |
| Log SPF | | | | 0,9591 | | | | 0,96632 | | | | 0,9557 |
| SPF | | | | 9,10 | | | | 9,25 | | | | 9,03 |

Tabel 6. Perhitungan Nilai SPF (*Sun Protection Factor*) sediaan tabir surya dengan bahan aktif kombinasi oksibenson dan oktil dimetil PABA (4:7)

| λ (nm) | Absorbansi (R1) | | | | Absorbansi (R1) | | | | Absorbansi (R1) | | | |
|-------------------|-----------------|-------|-----------|--------|-----------------|-------|-----------|--------|-----------------|-------|-----------|--------|
| | A0 | A1 | 10 ppm | AUC | A0 | A1 | 10 ppm | AUC | A0 | A1 | 10 ppm | AUC |
| 290 | 2,191 | 0,548 | 0,712 | - | 2,133 | 0,533 | 0,688 | - | 2,086 | 0,522 | 0,688 | - |
| 292 | 2,219 | 0,555 | 0,721 | 1,433 | 2,252 | 0,563 | 0,731 | 1,417 | 2,114 | 0,529 | 0,670 | 1,358 |
| 294 | 2,308 | 0,578 | 0,751 | 1,472 | 2,212 | 0,553 | 0,718 | 1,449 | 2,240 | 0,560 | 0,738 | 1,408 |
| 296 | 2,391 | 0,598 | 0,777 | 1,528 | 2,416 | 0,604 | 0,784 | 1,502 | 2,351 | 0,588 | 0,775 | 1,513 |
| 298 | 2,533 | 0,633 | 0,822 | 1,599 | 2,532 | 0,633 | 0,822 | 1,606 | 2,511 | 0,628 | 0,827 | 1,602 |
| 300 | 2,531 | 0,633 | 0,822 | 1,644 | 2,701 | 0,675 | 0,877 | 1,699 | 2,499 | 0,625 | 0,823 | 1,650 |
| 302 | 2,592 | 0,648 | 0,842 | 1,664 | 2,890 | 0,673 | 0,874 | 1,751 | 2,787 | 0,697 | 0,918 | 1,741 |
| 304 | 2,982 | 0,746 | 0,969 | 1,811 | 2,630 | 0,658 | 0,855 | 1,729 | 2,596 | 0,649 | 0,855 | 1,773 |
| 306 | 2,882 | 0,721 | 0,936 | 1,905 | 2,793 | 0,698 | 0,906 | 1,762 | 3,738 | 0,835 | 1,232 | 2,087 |
| 308 | 2,783 | 0,696 | 0,904 | 1,840 | 2,762 | 0,696 | 0,904 | 1,810 | 2,579 | 0,645 | 0,850 | 2,082 |
| 310 | 3,737 | 0,934 | 1,213 | 2,117 | 2,861 | 0,715 | 0,929 | 1,833 | 2,573 | 0,643 | 0,847 | 1,697 |
| 312 | 2,852 | 0,713 | 0,926 | 2,139 | 2,940 | 0,735 | 0,955 | 1,884 | 2,745 | 0,686 | 0,904 | 1,751 |
| 314 | 2,930 | 0,733 | 0,952 | 1,884 | 2,752 | 0,688 | 0,894 | 1,849 | 2,202 | 0,551 | 0,726 | 1,630 |
| 316 | 2,522 | 0,631 | 0,819 | 1,771 | 2,448 | 0,612 | 0,795 | 1,689 | 2,273 | 0,568 | 0,748 | 1,474 |
| 318 | 2,434 | 0,609 | 0,791 | 1,810 | 2,433 | 0,608 | 0,790 | 1,585 | 1,829 | 0,457 | 0,602 | 1,350 |
| 320 | 2,090 | 0,523 | 0,679 | 1,470 | 2,108 | 0,527 | 0,684 | 1,474 | 1,654 | 0,414 | 0,545 | 1,147 |
| 322 | 1,855 | 0,464 | 0,603 | 1,282 | 1,807 | 0,452 | 0,587 | 1,271 | 1,371 | 0,343 | 0,452 | 0,997 |
| 324 | 1,572 | 0,393 | 0,510 | 1,113 | 1,536 | 0,384 | 0,499 | 1,086 | 1,156 | 0,289 | 0,381 | 0,833 |
| 326 | 1,305 | 0,326 | 0,423 | 0,933 | 1,293 | 0,323 | 0,419 | 0,918 | 1,007 | 0,252 | 0,332 | 0,713 |
| 328 | 1,074 | 0,269 | 0,349 | 0,772 | 1,059 | 0,265 | 0,344 | 0,763 | 0,828 | 0,207 | 0,273 | 0,605 |
| 330 | 0,895 | 0,224 | 0,291 | 0,640 | 0,875 | 0,219 | 0,284 | 0,628 | 0,686 | 0,172 | 0,227 | 0,500 |
| 332 | 0,746 | 0,187 | 0,243 | 0,534 | 0,734 | 0,184 | 0,239 | 0,523 | 0,583 | 0,146 | 0,192 | 0,419 |
| 334 | 0,641 | 0,160 | 0,208 | 0,451 | 0,627 | 0,157 | 0,204 | 0,443 | 0,530 | 0,133 | 0,175 | 0,367 |
| 336 | 0,562 | 0,141 | 0,183 | 0,391 | 0,553 | 0,138 | 0,179 | 0,383 | 0,469 | 0,117 | 0,154 | 0,329 |
| 338 | 0,499 | 0,125 | 0,162 | 0,345 | 0,492 | 0,123 | 0,160 | 0,339 | 0,427 | 0,107 | 0,141 | 0,295 |
| 340 | 0,458 | 0,115 | 0,149 | 0,311 | 0,451 | 0,113 | 0,147 | 0,307 | 0,414 | 0,104 | 0,137 | 0,278 |
| 342 | 0,404 | 0,101 | 0,131 | 0,280 | 0,398 | 0,100 | 0,130 | 0,277 | 0,344 | 0,086 | 0,113 | 0,250 |
| 344 | 0,368 | 0,092 | 0,119 | 0,250 | 0,357 | 0,089 | 0,116 | 0,246 | 0,306 | 0,077 | 0,101 | 0,214 |
| 346 | 0,329 | 0,082 | 0,106 | 0,225 | 0,320 | 0,080 | 0,104 | 0,220 | 0,268 | 0,067 | 0,088 | 0,169 |
| 348 | 0,291 | 0,073 | 0,095 | 0,201 | 0,284 | 0,071 | 0,092 | 0,196 | | | | |
| 350 | 0,256 | 0,064 | 0,083 | 0,178 | 0,250 | 0,063 | 0,082 | 0,174 | | | | |
| 352 | 0,223 | 0,056 | 0,073 | 0,156 | | | | | | | | |
| AUC Total | | | | 33,949 | | | | 32,813 | | | | 30,252 |
| Log SPF | | | | 1,0951 | | | | 1,0936 | | | | 1,0804 |
| SPF | | | | 12,45 | | | | 12,41 | | | | 12,03 |

Tabel 7. Perhitungan Nilai SPF (Sun Protection Factor) sediaan tabir surya dengan bahan aktif oksibenzon 4% b/b

| λ nm | Absorbansi (R1) | | | Absorbansi (R1) | | | Absorbansi (R1) | | |
|-----------|-----------------|--------|-------|-----------------|--------|-------|-----------------|--------|-------|
| | C ppm | 10 ppm | AUC | C ppm | 10 ppm | AUC | C ppm | 10 ppm | AUC |
| 280 | 0,790 | 0,656 | - | 0,755 | 0,642 | - | 0,768 | 0,638 | - |
| 292 | 0,744 | 0,618 | 1,274 | 0,714 | 0,607 | 1,249 | 0,724 | 0,601 | 1,239 |
| 294 | 0,698 | 0,578 | 1,196 | 0,665 | 0,565 | 1,172 | 0,677 | 0,562 | 1,163 |
| 296 | 0,644 | 0,535 | 1,113 | 0,615 | 0,523 | 1,088 | 0,623 | 0,517 | 1,079 |
| 298 | 0,596 | 0,495 | 1,030 | 0,567 | 0,482 | 1,005 | 0,575 | 0,478 | 0,995 |
| 300 | 0,557 | 0,463 | 0,956 | 0,530 | 0,451 | 0,933 | 0,537 | 0,446 | 0,924 |
| 302 | 0,525 | 0,436 | 0,899 | 0,501 | 0,426 | 0,877 | 0,507 | 0,421 | 0,867 |
| 304 | 0,504 | 0,419 | 0,855 | 0,480 | 0,408 | 0,834 | 0,484 | 0,402 | 0,823 |
| 306 | 0,492 | 0,409 | 0,828 | 0,467 | 0,397 | 0,805 | 0,472 | 0,392 | 0,794 |
| 308 | 0,486 | 0,404 | 0,813 | 0,463 | 0,394 | 0,791 | 0,467 | 0,388 | 0,780 |
| 310 | 0,487 | 0,404 | 0,808 | 0,462 | 0,393 | 0,787 | 0,467 | 0,388 | 0,776 |
| 312 | 0,490 | 0,407 | 0,811 | 0,468 | 0,398 | 0,791 | 0,473 | 0,393 | 0,781 |
| 314 | 0,499 | 0,414 | 0,821 | 0,475 | 0,404 | 0,787 | 0,480 | 0,399 | 0,792 |
| 316 | 0,508 | 0,422 | 0,836 | 0,484 | 0,412 | 0,816 | 0,490 | 0,407 | 0,806 |
| 318 | 0,516 | 0,429 | 0,851 | 0,495 | 0,421 | 0,833 | 0,499 | 0,414 | 0,821 |
| 320 | 0,526 | 0,437 | 0,866 | 0,501 | 0,426 | 0,847 | 0,508 | 0,422 | 0,836 |
| 322 | 0,532 | 0,442 | 0,879 | 0,507 | 0,431 | 0,857 | 0,515 | 0,428 | 0,850 |
| 324 | 0,535 | 0,444 | 0,886 | 0,512 | 0,435 | 0,866 | 0,521 | 0,433 | 0,861 |
| 326 | 0,536 | 0,445 | 0,889 | 0,513 | 0,436 | 0,871 | 0,523 | 0,434 | 0,867 |
| 328 | 0,534 | 0,444 | 0,889 | 0,509 | 0,433 | 0,869 | 0,520 | 0,432 | 0,866 |
| 330 | 0,527 | 0,438 | 0,822 | 0,501 | 0,426 | 0,859 | 0,512 | 0,425 | 0,857 |
| 332 | 0,513 | 0,426 | 0,864 | 0,492 | 0,418 | 0,844 | 0,500 | 0,415 | 0,840 |
| 334 | 0,498 | 0,412 | 0,838 | 0,473 | 0,402 | 0,820 | 0,485 | 0,403 | 0,818 |
| 336 | 0,478 | 0,397 | 0,809 | 0,458 | 0,389 | 0,791 | 0,468 | 0,387 | 0,780 |
| 338 | 0,455 | 0,378 | 0,775 | 0,434 | 0,369 | 0,758 | 0,444 | 0,369 | 0,756 |
| 340 | 0,432 | 0,359 | 0,737 | 0,414 | 0,352 | 0,721 | 0,423 | 0,351 | 0,720 |
| 342 | 0,395 | 0,328 | 0,687 | 0,379 | 0,322 | 0,674 | 0,388 | 0,322 | 0,673 |
| 344 | 0,363 | 0,301 | 0,629 | 0,348 | 0,296 | 0,618 | 0,355 | 0,295 | 0,617 |
| 346 | 0,330 | 0,274 | 0,575 | 0,315 | 0,268 | 0,564 | 0,323 | 0,268 | 0,563 |
| 348 | 0,294 | 0,244 | 0,518 | 0,283 | 0,241 | 0,509 | 0,269 | 0,240 | 0,508 |
| 350 | 0,259 | 0,215 | 0,459 | 0,248 | 0,211 | 0,452 | 0,254 | 0,211 | 0,451 |
| 352 | 0,226 | 0,188 | 0,403 | 0,217 | 0,185 | 0,396 | 0,221 | 0,184 | 0,395 |
| 354 | 0,196 | 0,163 | 0,351 | 0,188 | 0,160 | 0,345 | 0,193 | 0,160 | 0,344 |
| 356 | 0,166 | 0,138 | 0,301 | 0,159 | 0,135 | 0,295 | 0,164 | 0,136 | 0,296 |
| 358 | 0,143 | 0,119 | 0,257 | 0,136 | 0,116 | 0,251 | 0,139 | 0,115 | 0,251 |
| 360 | 0,119 | 0,099 | 0,218 | 0,115 | 0,098 | 0,214 | 0,117 | 0,097 | 0,212 |
| 362 | 0,099 | 0,082 | 0,181 | 0,095 | 0,081 | 0,179 | 0,097 | 0,081 | 0,178 |
| 364 | 0,082 | 0,068 | 0,144 | 0,078 | 0,066 | 0,147 | 0,081 | 0,067 | 0,148 |
| 366 | 0,067 | 0,056 | 0,124 | 0,064 | 0,054 | 0,114 | 0,066 | 0,055 | 0,117 |
| 368 | 0,054 | 0,045 | 0,101 | | | | 0,053 | 0,044 | 0,099 |
| AUC Total | | 27,355 | | | 26,844 | | | 26,553 | |
| Log SPF | | 0,7014 | | | 0,6859 | | | 0,6809 | |
| SPF | | 5,03 | | | 5,02 | | | 4,79 | |

| NM | Absorbansi (R1) | | | | | Absorbansi (R2) | | | | | Absorbansi (R3) | | | | | |
|-----|-----------------|-------|-------|-------|-------|-----------------|-------|-------|-------|-------|-----------------|-------|--------|--------|--------|-----|
| | C0 | C1 | 10 | AUC | C0 | C1 | 10 | AUC | C0 | C1 | 10 | AUC | C0 | C1 | 10 | AUC |
| 290 | 1,393 | 0,348 | 0,650 | ppm | ppm | ppm | ppm | ppm | ppm | ppm | ppm | ppm | 38.42 | 37.75 | 38.23 | SPP |
| 291 | 1,618 | 0,405 | 0,756 | 1,464 | 1,503 | 0,359 | 0,359 | 0,391 | 0,744 | 1,427 | 1,563 | 0,391 | 0,743 | 1,424 | 1,424 | |
| 292 | 1,515 | 0,379 | 0,708 | 1,358 | 1,435 | 0,359 | 0,359 | 0,683 | 1,311 | 1,431 | 1,558 | 0,681 | 1,373 | - | - | |
| 293 | 1,393 | 0,348 | 0,650 | - | 1,318 | 0,330 | 0,628 | - | 1,322 | 0,351 | 0,692 | - | - | - | - | |
| 294 | 1,618 | 0,405 | 0,756 | 1,464 | 1,503 | 0,359 | 0,359 | 0,683 | 1,311 | 1,431 | 1,558 | 0,681 | 1,373 | - | - | |
| 295 | 1,769 | 0,442 | 0,825 | 1,581 | 1,685 | 0,421 | 0,421 | 1,684 | 1,545 | 1,684 | 0,424 | 0,806 | 1,549 | - | - | |
| 296 | 2,047 | 0,512 | 0,956 | 1,834 | 1,946 | 0,487 | 0,487 | 1,782 | 1,952 | 1,820 | 0,455 | 0,865 | 1,793 | - | - | |
| 297 | 1,880 | 0,470 | 0,878 | 1,703 | 1,798 | 0,450 | 0,450 | 0,856 | 1,657 | 1,657 | 0,455 | 0,888 | 1,792 | - | - | |
| 298 | 2,047 | 0,512 | 0,956 | 1,834 | 1,946 | 0,487 | 0,487 | 1,782 | 1,952 | 1,820 | 0,455 | 0,865 | 1,793 | - | - | |
| 299 | 2,089 | 0,522 | 0,975 | 1,931 | 2,038 | 0,510 | 0,970 | 1,896 | 2,070 | 0,518 | 0,985 | 1,913 | - | - | - | |
| 300 | 2,047 | 0,512 | 0,956 | 1,834 | 1,946 | 0,487 | 0,487 | 1,782 | 1,952 | 1,820 | 0,455 | 0,865 | 1,793 | - | - | |
| 301 | 2,281 | 0,570 | 1,064 | 2,184 | 2,159 | 0,510 | 1,027 | 2,136 | 2,295 | 0,574 | 1,091 | 2,178 | - | - | - | |
| 312 | 2,399 | 0,600 | 1,120 | 2,192 | 2,333 | 0,583 | 1,109 | 2,220 | 2,289 | 0,572 | 1,087 | 2,209 | - | - | - | |
| 314 | 2,278 | 0,570 | 1,064 | 2,184 | 2,159 | 0,510 | 1,027 | 2,136 | 2,295 | 0,574 | 1,091 | 2,178 | - | - | - | |
| 316 | 2,143 | 0,536 | 1,001 | 2,065 | 2,098 | 0,525 | 0,999 | 2,026 | 2,084 | 0,521 | 0,990 | 2,081 | - | - | - | |
| 318 | 1,850 | 0,463 | 0,865 | 1,886 | 1,823 | 0,456 | 0,867 | 1,866 | 1,829 | 0,457 | 0,869 | 1,859 | - | - | - | |
| 320 | 1,614 | 0,404 | 0,754 | 1,619 | 1,585 | 0,399 | 0,759 | 1,26 | 1,598 | 0,400 | 0,760 | 1,629 | - | - | - | |
| 322 | 1,344 | 0,336 | 0,627 | 1,381 | 1,339 | 0,335 | 0,637 | 1,396 | 1,344 | 0,336 | 0,639 | 1,399 | - | - | - | |
| 324 | 1,072 | 0,268 | 0,500 | 1,127 | 1,063 | 0,266 | 0,506 | 1,143 | 1,069 | 0,267 | 0,508 | 1,147 | - | - | - | |
| 326 | 0,806 | 0,202 | 0,377 | 0,877 | 0,808 | 0,202 | 0,384 | 0,890 | 0,809 | 0,202 | 0,384 | 0,892 | - | - | - | |
| 328 | 0,500 | 0,145 | 0,271 | 0,145 | 0,581 | 0,276 | 0,660 | 0,584 | 0,146 | 0,278 | 0,662 | - | - | - | - | |
| 330 | 0,397 | 0,099 | 0,185 | 0,456 | 0,397 | 0,099 | 0,118 | 0,454 | 0,399 | 0,100 | 0,190 | 0,468 | - | - | - | |
| 332 | 0,259 | 0,065 | 0,121 | 0,306 | 0,260 | 0,065 | 0,124 | 0,312 | 0,261 | 0,065 | 0,124 | 0,314 | - | - | - | |
| 334 | 1,052 | 0,296 | 1,585 | 1,585 | 1,585 | 1,585 | 1,585 | 1,585 | 1,585 | 1,585 | 1,585 | 1,585 | 1,5823 | 1,5823 | 1,5823 | SPP |
| 336 | 1,052 | 0,296 | 1,585 | 1,585 | 1,585 | 1,585 | 1,585 | 1,585 | 1,585 | 1,585 | 1,585 | 1,585 | 1,5823 | 1,5823 | 1,5823 | SPP |

Tabel 8. Perhitungan Nilai SPF (Sun Protection Factor) sedianan tabel surya dengan

bahannya akhir oktai dimethyl PABA 7%bb

